

Adopted Levels, Gammas

Type	Author	History	Citation	Literature Cutoff Date
Full Evaluation	Balraj Singh, Ameenah R. Farhan		NDS 107,1923 (2006)	30-Apr-2006

$Q(\beta^-) = -2562.4$  17; S(n)=10196.24 6; S(p)=11012.1 17;  $Q(\alpha) = -6282.6$  20 2012Wa38

Note: Current evaluation has used the following Q record  $-2562.5$  1710196.22 6 11012.123  $-6282.725$  2003Au03.

Giant-dipole resonance work (photonuclear reactions) has been reported by 1976Ca06, 1975Mc06, 1973McZP, 1973Mc15.

Nuclear structure calculations: 2004Br44.

Additional information 1.

Mass measurements: 1993Hy02, 1985El01, 1977De20, 1976De21, 1964Ba03, 1963Ri07.

 $^{74}\text{Ge}$  Levels

Levels populated in reactions with XREF=Y:

$^{74}\text{Ge}(^6\text{Li}, ^6\text{Li}), (^6\text{Li}, ^6\text{Li}')$ : 0, 596.

$^{74}\text{Ge}(^{16}\text{O}, ^{16}\text{O}'), (^{18}\text{O}, ^{18}\text{O}')$ : 0, 596, 1200.

$^{75}\text{As}(n, d)$ : 0, 596, 1200, 1470, 2200.

$^{77}\text{Se}(n, \alpha)$  E=th: 0, 596.

Cross Reference (XREF) Flags

<b>A</b> $^{74}\text{Ga} \beta^-$ decay (8.12 min)	<b>K</b> $^{73}\text{Ge}(n, \gamma)$ E=290-318 eV	<b>U</b> $^{75}\text{As}(d, ^3\text{He})$
<b>B</b> $^{74}\text{As} \varepsilon$ decay (17.77 d)	<b>L</b> $^{73}\text{Ge}(n, \gamma)$ E=332-367 eV	<b>V</b> $^{76}\text{Ge}(p, t)$
<b>C</b> $^{70}\text{Zn}(^6\text{Li}, d)$	<b>M</b> $^{73}\text{Ge}(n, \gamma)$ E=380-426 eV	<b>W</b> $^{78}\text{Se}(d, ^6\text{Li})$
<b>D</b> $^{71}\text{Ga}(\alpha, p)$	<b>N</b> $^{73}\text{Ge}(d, p)$	<b>X</b> $^{192}\text{Os}(^{82}\text{Se}, X\gamma)$
<b>E</b> $^{72}\text{Ge}(t, p)$	<b>O</b> $^{74}\text{Ge}(\gamma, \gamma'), (\text{pol } \gamma, \gamma')$	<b>Y</b> $^{74}\text{Ge}(^6\text{Li}, ^6\text{Li}), (^6\text{Li}, ^6\text{Li}')$
<b>F</b> $^{72}\text{Ge}(\alpha, ^2\text{He})$	<b>P</b> $^{74}\text{Ge}(n, n' \gamma)$	<b>Z</b> $^{74}\text{Ge}(^{16}\text{O}, ^{16}\text{O}'), (^{18}\text{O}, ^{18}\text{O}')$
<b>G</b> $^{73}\text{Ge}(n, \gamma)$ E=th	<b>Q</b> $^{74}\text{Ge}(p, p'), (\text{pol } p, p')$	Others:
<b>H</b> $^{73}\text{Ge}(n, \gamma)$ E=102.6 eV	<b>R</b> $^{74}\text{Ge}(\text{pol } d, d')$	<b>AA</b> $^{75}\text{As}(n, d)$
<b>I</b> $^{73}\text{Ge}(n, \gamma)$ E=224 eV	<b>S</b> $^{74}\text{Ge}(\alpha, \alpha')$	<b>AB</b> $^{77}\text{Se}(n, \alpha)$ E=th
<b>J</b> $^{73}\text{Ge}(n, \gamma)$ E=240 eV	<b>T</b> Coulomb excitation	

E(level) <sup>†</sup>	J <sup>π</sup> <sup>‡</sup>	T <sub>1/2</sub> <sup>#</sup>	XREF	Comments
0.0 <sup>j</sup>	0 <sup>+</sup>	stable	ABCDEFGHIJKLMNQRSTUUVWXYZ	XREF: Others: AA, AB <r <sup>2</sup> > <sup>1/2</sup> =4.0744 fm 12 (2004An14).
595.850 <sup>j</sup> 6	2 <sup>+</sup>	12.41 ps 9	AB DEFGHI MNOPQRSTUVWXYZ	XREF: Others: AA, AB μ=+0.87 4 (1984Pa20, 1989Ra17) Q=-0.19 2 (2000To12) μ: transient-field PAC (1984Pa20). Others: +0.70 4 (1987La20), +0.70 24 (1977Fa07). See also 2005St24 compilation. Q: reorientation effect in Coul. ex. (2000To12). Other: -0.25 6 (1980Le16, 1989Ra17). See also 2005St24 compilation. β <sub>2</sub> =0.290, 0.298 from ( <sup>16</sup> O, <sup>16</sup> O') (1979Fe03, 1976Co04). β <sub>2</sub> (from (pol d, d'))=0.28 (1978Sz08), 0.197 10 (1985Se05). β <sub>2</sub> (from (p, p'))=0.29 (1982Ta16). β <sub>2</sub> (from (pol p, p'))=0.208 10 (1985Se05), 0.27 1 (1986MoZR). J <sup>π</sup> : L=2 in (t, p), (p, p'), (d, d'), (α, α') and (d, <sup>6</sup> Li). T <sub>1/2</sub> from B(E2) in Coul. ex. Others: 11.8 ps +11-10 (DSA method in (n, n' γ)) (1988DoZU), 13 ps 2 from (γ, γ') (1956Me13). 2001Ra27 adopted 12.50 ps 25.

Continued on next page (footnotes at end of table)

**Adopted Levels, Gammas (continued)** $^{74}\text{Ge}$  Levels (continued)

E(level) <sup>†</sup>	$J^{\pi\ddagger}$	$T_{1/2}^{\#}$	XREF										Comments
			AB	E	GH	K	OP	QRST	UVW	Z			
1204.205 7	2 <sup>+</sup>	5.4 ps 8	AB	E	GH	K	OP	QRST	UVW	Z			XREF: Others: <a href="#">AA</a> , <a href="#">AB</a> $\mu=+0.82$ 24 ( <a href="#">1984Pa20</a> , <a href="#">1989Ra17</a> ) $Q=+0.26$ 6 ( <a href="#">2000To12</a> ) $\mu$ : transient-field PAC ( <a href="#">1984Pa20</a> ). See also <a href="#">2005St24</a> compilation. $\beta_2=0.07$ from (p,p') ( <a href="#">1982Ta16</a> ). $J^{\pi}$ : L=2 in (t,p), (p,p'), (d,d'), ( $\alpha,\alpha'$ ), (p,t) and (d, <sup>6</sup> Li). $T_{1/2}$ from DSA method in (n,n' $\gamma$ ). Other: 5.9 ps 9 from B(E2)'s in Coul. ex.
1463.759 <i>j</i> 8	4 <sup>+</sup>	1.53 ps 10	AB	DE	FGHI	KLMN	PQRST	UVWX					$J^{\pi}$ : L=4 in (p,p'), (d,d') and ( $\alpha,\alpha'$ ). $T_{1/2}$ from B(E2) in Coul. ex. $\beta_4=0.02$ from (p,p') ( <a href="#">1982Ta16</a> ), -0.015 15 from (pol p,p') ( <a href="#">1986MoZR</a> ).
1482.81 4	0 <sup>+</sup>	6 ps +15-3	AB	CDE	FG		OP	Q	ST	VW			$J^{\pi}$ : $\gamma\gamma(\theta)$ in <sup>74</sup> As $\varepsilon$ decay and ( $\gamma,\gamma'$ ). L=0 in (t,p), ( <sup>6</sup> Li,d) and ( $\alpha,\alpha'$ ). $T_{1/2}$ from B(E2) in Coul. ex.
1697.140 8	(3) <sup>+</sup>		AB	E	GHI	L	PQ		UV				XREF: E(?). $J^{\pi}$ : L(d, <sup>3</sup> He)=(1+3) and $\gamma(\theta)$ of 493 $\gamma$ and 1101 $\gamma$ in (n,n' $\gamma$ ). $J^{\pi}$ : L(d,d')=(0) for E=1720 20.
1724.954 14	(0 <sup>+</sup> )				G			R					XREF: N(?).
1913 14	0 <sup>+</sup>			E			N						$J^{\pi}$ : L(t,p)=0.
2165 4	(1 <sup>-</sup> )			E				Q		V			$J^{\pi}$ : L(p,t)=1 and L(p,p')=(1). L(t,p)=0 inconsistent with $J^{\pi}=(1^-)$ .
2165.259 8	(3,4) <sup>+</sup>		A		GHI	LM	PQ		U				$J^{\pi}$ : $\gamma$ to 2 <sup>+</sup> and strong primary $\gamma$ from 4 <sup>+</sup> , 5 <sup>+</sup> . The L=3 group in (d, <sup>3</sup> He) at 2168 10 probably corresponds to this level rather than to the 2165 level of $J^{\pi}=(1^-)$ . L(p,p')=(1) for a doublet E=2165 5, the second component is probably L=4.
2197.933 24	2 <sup>+</sup>		AB	E	G	I		OPQR		UV			XREF: Others: <a href="#">AA</a> $J^{\pi}$ : $\gamma$ 's to 0 <sup>+</sup> and 4 <sup>+</sup> , L=2 in (t,p), (p,p') and (p,t). L=(4) for a 2210 group in (d,d') inconsistent with $J^{\pi}=2^+$ .
2227.77 10	0 <sup>+</sup>			E	G			OPQ		U			XREF: Others: <a href="#">AA</a> $J^{\pi}$ : $\gamma\gamma(\theta)$ in ( $\gamma,\gamma'$ ) and L(t,p)=0.
2300			C										
2403.5 4	1 &	0.0004 eV 1						O					
2490? 5								N					
2536.310 13	3 <sup>-</sup>	0.24 <sup>@</sup> ps +14-10	A	E	GH	KLMN	PQRS		V				$\beta_3=0.16$ ((p,p'), <a href="#">1982Ta16</a> ), 0.15 1 ((pol p,p'), <a href="#">1986MoZR</a> ). B(E3)(p,p')=0.020 7 ( <a href="#">2002Ki06</a> ,evaluation). $J^{\pi}$ : L=3 in (t,p), (p,p'), (d,d') and ( $\alpha,\alpha'$ ). $J^{\pi}$ : yrast population in ( <sup>82</sup> Se,x). XREF: E(?).
2569.329 <i>j</i> 14	(6 <sup>+</sup> )				G	IJ		P		X			$J^{\pi}$ : L(p,t)=4; L( $\alpha,\alpha'$ )=(4). L(p,p')=(3) inconsistent with $J^{\pi}=4^+$ , but assignment perturbed by <sup>70</sup> Ge impurity.
2572 5	4 <sup>+</sup>			E			N	Q	S	V			XREF: W(?). $J^{\pi}$ : L=2 in (p,p'). L=(0) for 2610 in (t,p) and L=(1) for 2605 in (p,t) inconsistent
2600.32 9	(1,2,3) <sup>+</sup>	0.31 <sup>@</sup> ps +12-10		E	G			OPQ		VW			

Continued on next page (footnotes at end of table)

**Adopted Levels, Gammas (continued)**

$^{74}\text{Ge}$ Levels (continued)					
E(level) <sup>†</sup>	$J^{\pi}$ <sup>‡</sup>	$T_{1/2}$ <sup>#</sup>	XREF		
2669.62 4	4 <sup>+</sup>		E G I	N PQRS V	with $J^{\pi}=2^{+}$ .
2690.6 3	1&	0.0015 eV 3		O	$J^{\pi}$ : L=4 in (t,p), (p,p') and ( $\alpha,\alpha'$ ).
2693.68 4	(3,4 <sup>+</sup> )	0.052 <sup>@</sup> ps +24-16	A e GHI K	n Pq s v	XREF: e(?).
					$J^{\pi}$ : $\gamma$ 's to 2 <sup>+</sup> and primaries from thermal capture and from two $J^{\pi}=4^{+}$ neutron resonances gives $J^{\pi}=3,4^{+}$ . If L(p,p')=(2+3) for E=2690 5 corresponds to this level, then $J^{\pi}=(3^{-})$ . L( $\alpha,\alpha'$ )=(1) for E=2695 10 inconsistent with $J^{\pi}=3,4^{+}$ .
2696.918 10	(2 <sup>+</sup> )		e G	n Pq s v	XREF: e(?).
					$J^{\pi}$ : $\gamma$ to 4 <sup>+</sup> and no feeding from thermal capture and from any of the five neutron resonances studied. L( $\alpha,\alpha'$ )=(1) for E=2695 10 inconsistent with $J^{\pi}=2^{+}$ .
2711 6	(4 <sup>+</sup> )		EF		$J^{\pi}$ : L(t,p)=(4).
2750.61 23	0 <sup>+</sup>		C E	PQ	$J^{\pi}$ : L(t,p)=0.
2828.507 11	4 <sup>+</sup>		GHIJ LM	PQ	$J^{\pi}$ : L(p,p')=4.
2833.41 15	(2 <sup>+</sup> )	0.009 <sup>@</sup> ps +4-3	e	Pqr uv	E(level): it appears that 2833 and 2836 are two different levels the first populated in (n,n' $\gamma$ ) and the second in (n, $\gamma$ ) E=th, although, existence of a doublet near this energy does not seem definitive. The $\gamma$ rays in both reactions proceed to the same final levels but are about 3 keV different in energy. Also the branching ratios are different in the two reactions.
					$J^{\pi}$ : L=2 in (t,p) and (p,t) for a probable doublet. L(p,p')=4 for a doublet E=2833 5, the second component is probably L=2.
2835.923 24	(2 <sup>+</sup> )		e G	qr uv	E(level), $J^{\pi}$ : see comment for 2833 level.
2842 5	(3 <sup>-</sup> & 5 <sup>-</sup> )			N S	$J^{\pi}$ : L( $\alpha,\alpha'$ )=(3+5) and L(d,p)=1.
2856.04 25	0 <sup>+</sup>		E	PQ UV	XREF: E(?).
					$J^{\pi}$ : L(p,t)=0.
2878.14 17	(5 <sup>-</sup> )			PQ	$J^{\pi}$ : L(p,p')=(5).
2925.45 9	(3,4 <sup>+</sup> )		G	P	$J^{\pi}$ : $\gamma$ to 2 <sup>+</sup> , possible $\gamma$ to (3) <sup>+</sup> and primary from thermal capture.
2935.475 12	3 <sup>-</sup>		E GHI KLMn P	s u	$J^{\pi}$ : L(d,p)=1 and $\gamma$ to 4 <sup>+</sup> .
					L(d, <sup>3</sup> He)=1+3 and L( $\alpha,\alpha'$ )=(3+5).
2936.8	(5 <sup>-</sup> )			n PQ s u	$J^{\pi}$ : L(p,p')=(5), L(d,p)=1, L(d, <sup>3</sup> He)=1+3 and L( $\alpha,\alpha'$ )=(3+5).
2938.7 2	2 <sup>+</sup>	0.26 <sup>@</sup> ps +15-7		P V	$J^{\pi}$ : L(p,t)=2.
2949.48 10	(3 <sup>-</sup> )		A E G	P r	$J^{\pi}$ : log ft=5.7 from (3 <sup>-</sup> ) and $\gamma$ to 2 <sup>+</sup> . L(d,d')=(3). L(t,p)=4 inconsistent with $J^{\pi}$ .
2961.0 2	(5 <sup>-</sup> )			PQrS	$J^{\pi}$ : L( $\alpha,\alpha'$ )=(5).
2973.472 13	(3)		A GH KL	PQ	$J^{\pi}$ : $\gamma$ to 0 <sup>+</sup> , primaries from thermal capture and from two $J^{\pi}=4^{+}$ neutron resonances.
2999.2	2 <sup>+</sup>			OPQ S U	$J^{\pi}$ : $\gamma$ from 1 <sup>-</sup> in ( $\gamma,\gamma'$ ) and L=2 in (p,p'), ( $\alpha,\alpha'$ ).

Continued on next page (footnotes at end of table)

**Adopted Levels, Gammas (continued)**

$^{74}\text{Ge}$ Levels (continued)					
E(level) <sup>†</sup>	J <sup>π</sup> <sup>‡</sup>	T <sub>1/2</sub> <sup>#</sup>	XREF		Comments
3017 3	2 <sup>+</sup>		E	Q S UV	J <sup>π</sup> : L=2 in (t,p), (p,t) and L=(2) in (p,p'). L=1(+3) in (d, <sup>3</sup> He).
3032.8 2	1 <sup>&amp;</sup>	0.0112 eV 6		O	
3034.00 3	(3,4 <sup>+</sup> )	0.059 <sup>@</sup> ps +10-7	A	G I K M P	J <sup>π</sup> : γ's to 2 <sup>+</sup> and primaries from thermal capture and from J <sup>π</sup> =4 <sup>+</sup> neutron resonance.
3048.564 24	4 <sup>+</sup>		E GH	PQ S V	J <sup>π</sup> : L=4 in (t,p), (p,p'), (p,t) and (α,α').
3060.1 5	(2 <sup>+</sup> to 6 <sup>+</sup> )			H K M P	J <sup>π</sup> : primary γ from 4 <sup>+</sup> .
3081.321 15	(3 <sup>+</sup> )	0.21 <sup>@</sup> ps +7-5	A	GHI KLM PQR UV	J <sup>π</sup> : L=1+3 in (d, <sup>3</sup> He), L=(3,4) in (d,d'), γ to 4 <sup>+</sup> and primaries from thermal capture and from J <sup>π</sup> =4 <sup>+</sup> neutron resonance. In (p,p'), either the L=(5) assignment for a 3081 group is incorrect or there is a different level near this energy.
3092.2 2	1 <sup>(+)&amp;</sup>	0.0104 eV 11		O	
3104.506 19	5 <sup>-</sup>		E GHIJ LM	PQ S	J <sup>π</sup> : L=5 in (t,p) and (α,α').
3118.0 5	3 <sup>-</sup> , 4 <sup>-</sup> , 5 <sup>-</sup> , 6 <sup>-</sup>			N P	J <sup>π</sup> : L(d,p)=1.
3139.32 22				P	
3140.30 4	3 <sup>-</sup>		A	E GHI K PQRS V	J <sup>π</sup> : L=3 in (t,p), (p,p') and (α,α').
3175.47 3	3 <sup>-</sup>	0.097 <sup>@</sup> ps +35-28	A	GH PQ S U	J <sup>π</sup> : L=3 in (α,α') and (p,p').
3199.5	2 <sup>+</sup>	0.024 ps +8-4		PQ S UV	J <sup>π</sup> : L=2 in (α,α'), (p,t) and (p,p').
3211.8? 7			A		
3224.680 13	4 <sup>+</sup>		E G	Q S UV	L(p,t)=2+5 unresolved doublet.
3242 5	≤9 <sup>+</sup>			N	J <sup>π</sup> : L=4 in (t,p), (α,α') and (p,p').
3271.51 5	(2 <sup>+</sup> )		GHI KL	Q	J <sup>π</sup> : L(d,p)=4.
3276.3 2	1 <sup>&amp;</sup>	0.0013 eV 4		O	J <sup>π</sup> : γ to 4 <sup>+</sup> , possible γ to 0 <sup>+</sup> .
3293 5	3 <sup>-</sup> , 4 <sup>-</sup> , 5 <sup>-</sup> , 6 <sup>-</sup>			N	J <sup>π</sup> : L(d,p)=1.
3315.72 3	4 <sup>+</sup>			G S U	J <sup>π</sup> : L(α,α')=4.
3342.94 7	(3 <sup>-</sup> , 4 <sup>+</sup> )		A	Q V	J <sup>π</sup> : L(p,t)=3 for E=3342 10 and L(p,p')=4 for E=3342 4.
3356 3	0 <sup>+</sup>		E		J <sup>π</sup> : L(t,p)=0.
3358.517 22	(2 <sup>+</sup> , 3, 4 <sup>+</sup> ) <sup>b</sup>		G L		
3360 4	5 <sup>-</sup>			Q S V	J <sup>π</sup> : L(p,t)=5.
3372.4 5	2 <sup>+</sup> , 3 <sup>+</sup> , 4 <sup>+</sup> , 5 <sup>+</sup> , 6 <sup>+</sup>		G IJ MN		J <sup>π</sup> : L(d,p)=2 and primaries from 4 <sup>+</sup> , 5 <sup>+</sup> .
3381.74 5	3 <sup>-</sup>		A	GH Q S uV	J <sup>π</sup> : L=3 in (p,p'), (α,α') and (p,t).
3392.618 18	2 <sup>+</sup>		E G K M	Qr uV	E(level): E(p,p')=3401 5, E(p,t)=3400 10.
3409.931 25	(3,4 <sup>+</sup> )		GHI	r U	J <sup>π</sup> : L=2 in (t,p), (p,t) and (p,p').
					J <sup>π</sup> : possible γ's to 4 <sup>+</sup> , (2 <sup>+</sup> ) and primaries from thermal capture and from J <sup>π</sup> =4 <sup>+</sup> neutron resonance.
3423.8 6	(2 to 6) <sup>a</sup>		G I M		
3436.3 9	(2 to 6) <sup>a</sup>		E G J		J <sup>π</sup> : L=(0,1) in (t,p) inconsistent with J=2 to 6. The level in (t,p) may be different.
3478.37 3	(2,3) <sup>+</sup>		A	GHI L Q S UV	E(level): E(p,t)=3490.
3501.4 10	4		E	LMn QrS V	J <sup>π</sup> : L=1+3 in (d, <sup>3</sup> He) and γ to 4 <sup>+</sup> . J <sup>π</sup> : L=4 in (p,p') and (p,t).

Continued on next page (footnotes at end of table)

**Adopted Levels, Gammas (continued)** $^{74}\text{Ge}$  Levels (continued)

E(level) <sup>†</sup>	J <sup>π</sup> <sup>‡</sup>	T <sub>1/2</sub> <sup>#</sup>	XREF				Comments
			GHI	K	n	rS	
3515.441 13	(3,4 <sup>+</sup> )						J <sup>π</sup> : γ's to (2 <sup>+</sup> ), (4 <sup>+</sup> ) and primaries from thermal capture and from two J <sup>π</sup> =4 <sup>+</sup> neutron resonances. If same as L=3 in (d,p) then J <sup>π</sup> =(3 <sup>-</sup> ). If same as L=(4) in (d,d') then J <sup>π</sup> =(4 <sup>+</sup> ).
3557.9 3	1 <sup>(-)&amp;</sup>	0.050 eV 8				O	
3566.75 8	(2 <sup>+</sup> ,3,4 <sup>+</sup> )		A				J <sup>π</sup> : γ to 2 <sup>+</sup> and log ft=7.3 from (3 <sup>-</sup> ).
3578.93 3	2 <sup>+</sup>			E G		Q S UV	J <sup>π</sup> : L=2 in (t,p) and (p,t).
3603? 5					N		
3617 7	0 <sup>+</sup>		C			Q S V	J <sup>π</sup> : L=0 in (p,t) and (α,α').
3629 7	(6 <sup>+</sup> )			F		Q S V	XREF: F(3590).
							J <sup>π</sup> : L=(6) in (α,α'), L=7,6 in (p,t) and L=6+8 or 6+7 in (α, <sup>2</sup> He). L(p,p')=(5) inconsistent with J <sup>π</sup> .
3639.5? 2			A				
3642 2	(4 <sup>+</sup> )			E			J <sup>π</sup> : L(t,p)=(4).
3647 <sup>d</sup> 10	1 <sup>-</sup>		a			q S	J <sup>π</sup> : L(α,α')=1.
3647 <sup>de</sup> 10	2 <sup>+</sup>		a	g		q V	J <sup>π</sup> : L(p,t)=2.
3647.9 7	1 <sup>+</sup> &	0.028 eV 6				O	
3654.4 <sup>e</sup> 11	(4 <sup>+</sup> ,5 <sup>+</sup> )			g	L N		J <sup>π</sup> : L(d,p)=(0).
3681 <sup>j</sup> 1	(8 <sup>+</sup> )					X	J <sup>π</sup> : yrast cascade in ( <sup>82</sup> Se,X).
3683 4	5 <sup>-</sup>			E		v	J <sup>π</sup> : L(t,p)=5.
3685.42 12	(2 to 5 <sup>+</sup> )			G		q v	J <sup>π</sup> : γ to (3 <sup>+</sup> ) and primary from thermal capture. If same as L=4 in (p,p') then J <sup>π</sup> =4 <sup>+</sup> .
3691.79 4	3 <sup>-</sup>			G		q S v	J <sup>π</sup> : L(α,α')=3. L(p,p')=4 inconsistent with J <sup>π</sup> .
3696.59 9	(3,4) <sup>c</sup>		A	H JKL	n	s v	J <sup>π</sup> : log ft=6.6 from (3 <sup>-</sup> ). Feeding from 4 <sup>+</sup> and 5 <sup>+</sup> resonances.
3700 10	(0 <sup>+</sup> )					Q	J <sup>π</sup> : L(p,p')=(0).
3707.20 14	(3,4,5) <sup>c</sup>			G IJ	n	s v	J <sup>π</sup> : γ to 3 <sup>-</sup> and primaries from thermal capture and from 4 <sup>+</sup> and 5 <sup>+</sup> resonances.
3716.7 4	(1 <sup>-</sup> ,2 <sup>+</sup> ) <sup>c</sup>		A		n	s v	J <sup>π</sup> : γ's to 0 <sup>+</sup> , (3 <sup>-</sup> ).
3720.79 5	(3,4 <sup>+</sup> )		A	G	n		J <sup>π</sup> : log ft=6.3 from (3 <sup>-</sup> ) and primary from thermal capture.
3733 7	4 <sup>+</sup>			E	n	Q S	J <sup>π</sup> : L(t,p)=4. L(p,p')=3 is not consistent with J <sup>π</sup> .
3743.348 23	(3 <sup>-</sup> ,4 <sup>+</sup> )			G	n		J <sup>π</sup> : γ to 5 <sup>-</sup> and possible γ to (3,4 <sup>+</sup> ).
3748 5	2 <sup>+</sup>				n	Q S V	J <sup>π</sup> : L=2 in (p,t) and (p,p').
3771.74 5	(2 <sup>+</sup> ,3,4 <sup>+</sup> ) <sup>b</sup>			GH	L		
3778 5	0 <sup>+</sup>			E		Q S V	J <sup>π</sup> : L=0 in (t,p) and (p,t).
3783.41 5	(2 <sup>+</sup> ,3,4 <sup>+</sup> ) <sup>b</sup>			G			
3790.90 8	(3,4 <sup>+</sup> )			G I			J <sup>π</sup> : γ to (2 <sup>+</sup> ) and primaries from thermal capture and from J <sup>π</sup> =4 <sup>+</sup> ,5 <sup>+</sup> neutron resonances.
3806.772 23	3 <sup>-</sup>			GH		S	J <sup>π</sup> : L(α,α')=3.
3807.03 11			A				
3828.23 <sup>f</sup> 10	(1 <sup>-</sup> to 4 <sup>+</sup> ) <sup>f</sup>		A				J <sup>π</sup> : γ's to 2 <sup>+</sup> and 3 <sup>-</sup> .
3832.23 <sup>f</sup> 5	(2 <sup>+</sup> ,3,4 <sup>+</sup> ) <sup>bf</sup>			G			
3835.27 <sup>f</sup> 4	(2 <sup>+</sup> ,3,4 <sup>+</sup> ) <sup>bf</sup>			GHI KL			
3853 10						S	
3870	(6 <sup>+</sup> ,7 <sup>-</sup> ,8 <sup>+</sup> )			F			J <sup>π</sup> : L(α, <sup>2</sup> He)=6+7 or 6+8 for 3590+3870.
3874.17 4	2 <sup>+</sup>			E G		Q V	J <sup>π</sup> : γ to 3 <sup>-</sup> ; L(p,t)=2; L(p,p')=(2) assuming the same levels are populated in (p,t), (p,p') and (n,γ) E=th.

Continued on next page (footnotes at end of table)

**Adopted Levels, Gammas (continued)** $^{74}\text{Ge}$  Levels (continued)

E(level) <sup>†</sup>	J <sup>π</sup> <sup>‡</sup>	T <sub>1/2</sub> <sup>#</sup>	XREF				Comments
3874.9 3	1 <sup>+</sup> &	0.099 eV 18		0			
3876 <sup>h</sup> 10	3 <sup>-</sup>				S		J <sup>π</sup> : L(α,α')=3.
3889.69 3	(2 <sup>+</sup> ,3,4 <sup>+</sup> )		G				J <sup>π</sup> : γ to 4 <sup>+</sup> .
3895.01 6	(2,3,4 <sup>+</sup> )		A				J <sup>π</sup> : γ's to 2 <sup>+</sup> , (3) <sup>+</sup> and (3 <sup>-</sup> ,4 <sup>+</sup> ).
3897.98 4	(2 <sup>+</sup> to 6 <sup>+</sup> )		G				J <sup>π</sup> : possible γ to 4 <sup>+</sup> .
3916 5	0 <sup>+</sup>		E		Q	V	J <sup>π</sup> : L=0 in (t,p), (p,t).
3932.98 <sup>g</sup> 4	(1 <sup>+</sup> ,2,3,4 <sup>+</sup> ) <sup>g</sup>		G				J <sup>π</sup> : γ to (2 <sup>+</sup> ,3,4 <sup>+</sup> ).
3941.09 <sup>g</sup> 16	(2 <sup>+</sup> ,3 <sup>-</sup> ) <sup>g</sup>		G				J <sup>π</sup> : γ's to (3) <sup>+</sup> and (4) <sup>+</sup> .
3949.80 <sup>g</sup> 10	(2 <sup>+</sup> ,3,4 <sup>+</sup> ) <sup>bg</sup>		A				
3958.03 20	3 <sup>-</sup>		GHI	L		S	J <sup>π</sup> : L(α,α')=3.
3975.86 9	(2 <sup>+</sup> )		G				J <sup>π</sup> : γ's to 0 <sup>+</sup> , (3 <sup>+</sup> ), (3 <sup>-</sup> ).
3976.23 9	(2,3,4 <sup>+</sup> )		A				J <sup>π</sup> : γ's to 2 <sup>+</sup> , (3) <sup>+</sup> and log ft=6.0 from (3 <sup>-</sup> ).
3995.05 10	(2 <sup>+</sup> ,3,4 <sup>+</sup> )		A				J <sup>π</sup> : γ to 2 <sup>+</sup> and log ft 6.7 from (3 <sup>-</sup> ).
3995.83 6	(2 <sup>+</sup> )		GHI	n			J <sup>π</sup> : γ's to 0 <sup>+</sup> , 2 <sup>+</sup> and 4 <sup>+</sup> .
3999 10	5 <sup>-</sup>			n	S		J <sup>π</sup> : L(α,α')=5.
4006.8 4	1 <sup>+</sup> &	0.044 eV 6		0			
4008 10	(0 <sup>+</sup> )				Q	S	J <sup>π</sup> : L(p,p')=(0).
4022.94 7	2 <sup>+</sup>		E	G			J <sup>π</sup> : L(t,p)=2.
4024 7	5 <sup>-</sup>				Q	S	J <sup>π</sup> : L=5 in (α,α') and (p,t).
4030.1 5	(2 <sup>+</sup> ,3,4 <sup>+</sup> ) <sup>b</sup>		G	L			
4045.43 4			G			S	XREF: G(?).
4064.66 3	(2 to 5) <sup>a</sup>		G				J <sup>π</sup> : γ to 3.
4069 5	3 <sup>-</sup> ,4 <sup>-</sup> ,5 <sup>-</sup> ,6 <sup>-</sup>			N			J <sup>π</sup> : L(d,p)=1.
4083 10	(0 <sup>+</sup> )				Q		J <sup>π</sup> : L(p,p')=(0).
4084.9 5	1 <sup>+</sup> &	0.060 eV 8		0			
4085 10	4 <sup>+</sup>		E		Q	S	J <sup>π</sup> : L=4 in (α,α'). σ(θ) for (p,t) and (t,p) peaks can't T <sub>1/2</sub> be fit by a single L value.
4093 10	(5 <sup>-</sup> )		G		Q		E(level): E=4094.02 4 for a tentative level in (n,γ).
4119 5	3 <sup>-</sup> ,4 <sup>-</sup> ,5 <sup>-</sup> ,6 <sup>-</sup>		G	N			J <sup>π</sup> : L(p,p')=(5). E(level): E=4114.16 4 for a tentative level in (n,γ).
4130	(7 <sup>-</sup> ,8 <sup>+</sup> )		F				J <sup>π</sup> : L(d,p)=1.
4138 10	2 <sup>+</sup>		G		Q	V	J <sup>π</sup> : L(α, <sup>2</sup> He)=(7,8). E(level): E=4137.27 6 for a tentative level in (n,γ).
4144.48 <sup>i</sup> 10			G				J <sup>π</sup> : L(p,t)=2.
4155.25 <sup>i</sup> 13			G				
4164 10	2 <sup>+</sup>				Q	V	J <sup>π</sup> : L(p,t)=2.
4171.5 3	1 <sup>+</sup> &			0			
4174 4	3 <sup>-</sup>		E	N	Q		J <sup>π</sup> : L(t,p)=3 and L(d,p)=1.
4191.32 <sup>i</sup> 5			G				
4201.55 8	2 <sup>+</sup>		A	E	Q	V	J <sup>π</sup> : L(t,p)=2.
4202.94 <sup>i</sup> 5			G				
4204.67 16	(2 <sup>+</sup> to 5 <sup>-</sup> )		G	KL			J <sup>π</sup> : γ's to 4 <sup>+</sup> and 3 <sup>-</sup> .
4217.30 5	(2 <sup>+</sup> ,3,4 <sup>+</sup> ) <sup>b</sup>		G				
4222.9 3	(2 <sup>+</sup> ,3 <sup>+</sup> ,4 <sup>+</sup> )		A				J <sup>π</sup> : log ft=7.1 from (3 <sup>-</sup> ).
4224.9 8	1 <sup>-</sup> &	0.090 eV 10		0			
4234.77 6	(3,4 <sup>+</sup> )		GH	L			E(level): this level may be the same as 4235.33 seen in. J <sup>π</sup> : primary γ's from thermal capture and from J <sup>π</sup> =4 <sup>+</sup> neutron resonance.

Continued on next page (footnotes at end of table)

**Adopted Levels, Gammas (continued)** $^{74}\text{Ge}$  Levels (continued)

E(level) <sup>†</sup>	J <sup>π</sup> <sup>‡</sup>	T <sub>1/2</sub> <sup>#</sup>	XREF				Comments
4235.33 13	(2,3,4) <sup>+</sup>		A	N	Q		J <sup>π</sup> : γ to 2 <sup>+</sup> and L(d,p)=2.
4239 10	0 <sup>+</sup>		G			V	E(level): E=4238.19 6 for a tentative level in (n,γ).
4273 10	(0 <sup>+</sup> )				Q	V	J <sup>π</sup> : L(p,t)=0.
4276.4 <sup>i</sup> 3			G				J <sup>π</sup> : L(p,t)=(0).
4290 7	2 <sup>+</sup>		E G			V	E(level): E=4292.28 6 for a tentative level in (n,γ).
4305.8 13	1 <sup>&amp;</sup>	0.047 eV 7			O		J <sup>π</sup> : L=2 in (t,p) and (p,t).
4320 10	4 <sup>+</sup>		E		Q	V	J <sup>π</sup> : L=4 in (p,t) and L=(4) in (t,p).
4339.67 5	(2 <sup>+</sup> )		G				J <sup>π</sup> : γ to 0 <sup>+</sup> .
4342.6 3	1 <sup>&amp;</sup>				O		
4344.25 <sup>i</sup> 5			G				
4353 5	4 <sup>+</sup>		E	N	Q		J <sup>π</sup> : L(t,p)=4.
4367.2 5	(1 <sup>-</sup> to 5 <sup>-</sup> )		A				J <sup>π</sup> : γ to (3 <sup>-</sup> ).
4368.15 7	(2 <sup>+</sup> )		G		q		J <sup>π</sup> : γ to 0 <sup>+</sup> .
4387 5	2 <sup>+</sup>		E	N	q	V	J <sup>π</sup> : L=2 in (p,t), L=(2) in (t,p) and (d,p).
4408.58 10	(4 <sup>+</sup> ) <sup>a</sup>		G			V	J <sup>π</sup> : L(p,t)=0,4.
4413.54 10	2 <sup>+</sup>		E G	N			J <sup>π</sup> : L=2 in (t,p) and (d,p).
4439.98 5	(2,3,4) <sup>a</sup>		G				J <sup>π</sup> : γ to (2 <sup>+</sup> ).
4442.18 5	(2 <sup>+</sup> ,3,4 <sup>+</sup> ) <sup>b</sup>		G				
4477.49 6	(0 <sup>+</sup> to 4 <sup>+</sup> )		A				J <sup>π</sup> : γ to 2 <sup>+</sup> .
4493 7	4 <sup>+</sup>		E	N		V	J <sup>π</sup> : L=4 in (t,p) and (p,t).
4527.89 4	(2 <sup>+</sup> )		G				J <sup>π</sup> : γ to 0 <sup>+</sup> .
4535 10	0 <sup>+</sup>					V	J <sup>π</sup> : L(p,t)=0.
4538 10	2 <sup>+</sup>		E				J <sup>π</sup> : L(t,p)=2.
4544 5	4 <sup>+</sup> ,5 <sup>+</sup>			N			J <sup>π</sup> : L(d,p)=0.
4586 9	4 <sup>+</sup>		E				J <sup>π</sup> : L(t,p)=4.
4591 10	2 <sup>+</sup>					V	J <sup>π</sup> : L(p,t)=2.
4594 5	3 <sup>-</sup> ,4 <sup>-</sup> ,5 <sup>-</sup> ,6 <sup>-</sup>			N			J <sup>π</sup> : L(d,p)=1.
4611.42 16	(2 <sup>-</sup> ,3 <sup>-</sup> ,4 <sup>-</sup> )		A				J <sup>π</sup> : log ft=5.7 from (3 <sup>-</sup> ).
4630.43 7	(2 <sup>+</sup> )		E G	N		V	J <sup>π</sup> : L(p,t)=(2).
4664 10	4 <sup>+</sup>					V	J <sup>π</sup> : L(p,t)=4.
4685 6	(0 <sup>+</sup> )		E			V	J <sup>π</sup> : L(p,t)=(0).
4698.29 13	(2 <sup>-</sup> ,3 <sup>-</sup> ,4 <sup>-</sup> )		A				J <sup>π</sup> : log ft=5.0 from (3 <sup>-</sup> ).
4731 5	4 <sup>+</sup> ,5 <sup>+</sup>			N			J <sup>π</sup> : L(d,p)=0.
4767 11	(0 <sup>+</sup> ,1 <sup>-</sup> )		E				J <sup>π</sup> : L(t,p)=(0,1).
4824 5	4 <sup>+</sup> ,5 <sup>+</sup>			N			J <sup>π</sup> : L(d,p)=0.
4840.92 13	(2 <sup>+</sup> )		G				J <sup>π</sup> : γ to 0 <sup>+</sup> .
4853 8	(0 <sup>+</sup> ,2 <sup>+</sup> )		E				J <sup>π</sup> : L(t,p)=(0+2).
4874 5				N			
4920 10	(2 <sup>+</sup> )					V	J <sup>π</sup> : L(p,t)=(2).
4951 10	(2 <sup>+</sup> )					V	J <sup>π</sup> : L(p,t)=(2).
4972.55 9	(2 <sup>+</sup> )		G				J <sup>π</sup> : γ to 0 <sup>+</sup> .
4981 5				N			
5021 10	(2 <sup>+</sup> )					V	J <sup>π</sup> : L(p,t)=(2).
5062 5	4 <sup>+</sup> ,5 <sup>+</sup>			N			J <sup>π</sup> : L(d,p)=0.
5107.82 <sup>i</sup> 5			G				
5131.45 8	(2 to 6) <sup>a</sup>		G				
5147 5	4 <sup>+</sup> ,5 <sup>+</sup>			N		V	J <sup>π</sup> : L(d,p)=0. L(p,t)=5 is reported by 1972IsZV for E=5313; however, in the work of 1977Gu12, the 5148 peak is not fit by any single L value.
5288.5			G				J <sup>π</sup> : (2 <sup>+</sup> ,3 <sup>+</sup> ) proposed by 2000PoZV in (n,γ).

Continued on next page (footnotes at end of table)

**Adopted Levels, Gammas (continued)** $^{74}\text{Ge}$  Levels (continued)

E(level) <sup>†</sup>	J <sup>π</sup> <sup>‡</sup>	T <sub>1/2</sub> <sup>#</sup>	XREF		Comments
5323 5	4 <sup>+</sup> ,5 <sup>+</sup>		N		J <sup>π</sup> : L(d,p)=0.
5352 10				V	
5434.8 5	1 <sup>-</sup> &	0.40 eV 3	O		
5435.76? <sup>i</sup> 7			G	N	XREF: N(5440).
5485.1 12	1&	0.075 eV 11	O		
5493.1 10	1&	0.087 eV 17	O		
5510.3			G		J <sup>π</sup> : (3 <sup>-</sup> ,4 <sup>-</sup> ) proposed by 2000PoZV in (n,γ).
5514.8 8	1&	0.23 eV 4	O		
5580 10	(0 <sup>+</sup> )			V	J <sup>π</sup> : L(p,t)=(0).
5617 5			N		
5717 5			N		
5743.7 10	1&	0.110 eV 13	O		
5758.76? <sup>i</sup> 4			G		
5766.7 4	1 <sup>(+)</sup> &	0.167 eV 26	O		
5787 5			N		
5850 5			N		
5926.86? <sup>i</sup> 6			G	N	XREF: N(5930).
5934.16? <sup>i</sup> 9			G		
6017.4 24	1 <sup>-</sup> &	0.120 eV 15	NO		XREF: N(?). Γ from 1970Mo26.
6190?			N		
6200	(6 <sup>+</sup> ,8 <sup>+</sup> )		F		J <sup>π</sup> : L(α, <sup>2</sup> He)=(6,8).
6330?	(4 <sup>+</sup> ,5 <sup>+</sup> )		N		J <sup>π</sup> : L(d,p)=(0).
6445.1 11	1&	0.39 eV 11	O		
6477.9 6	1 <sup>-</sup> &	0.226 eV 21	O		
6530?			N		
6650.3 3	1 <sup>-</sup> &	0.92 eV 7	O		
6660.5 5	1 <sup>-</sup> &	0.337 eV 20	O		
6680?			N		
6732.7 8	1 <sup>+</sup> &	0.29 eV 3	O		
6862.00? <sup>i</sup> 7			G		
6942.6 6	1 <sup>-</sup> &	0.35 eV 3	O		
6992.70? <sup>i</sup> 6			G		
7150.8 16	1 <sup>-</sup> &	0.58 eV 9	O		
7173.18? <sup>i</sup> 4			G		
7264.6 6	1 <sup>-</sup> &	0.81 eV 3	O		
7275.90? <sup>i</sup> 4			G		
7359.39? <sup>i</sup> 9			G		
7379.9 10	1&	0.25 eV 4	O		
7445.3 11	1&		O		
7493.60? <sup>i</sup> 6			G		
7506.7 10	1 <sup>(-)</sup> &	0.40 eV 3	O		
7550.7 7	1 <sup>-</sup> &	0.80 eV 11	O		
7578.96? <sup>i</sup> 5			G		
7616.0 8	1&		O		
7621.77? <sup>i</sup> 7			G		
7652.1 6	1 <sup>-</sup> &	1.51 eV 12	O		
7702.02? <sup>i</sup> 5			G		

Continued on next page (footnotes at end of table)



**Adopted Levels, Gammas (continued)** $^{74}\text{Ge}$  Levels (continued)

E(level) <sup>†</sup>	$J^\pi$ <sup>‡</sup>	$T_{1/2}$ <sup>#</sup>	XREF
7882.23? <sup>i</sup> 4			G
7980.64? <sup>i</sup> 6			G
8219.0 8	1&	0.36 eV 5	0
8250.2 8	1&	0.33 eV 8	0
8361.1 12	1&	0.88 eV 18	0
8375.70? <sup>i</sup> 8			G
8440.13? <sup>i</sup> 9			G
8560.09? <sup>i</sup> 6			G
8873.33? <sup>i</sup> 7			G
8928.00? <sup>i</sup> 8			G
9004.38? <sup>i</sup> 6			G
9133.79? <sup>i</sup> 8			G
9457.91? <sup>i</sup> 5			G

<sup>†</sup> In (p,p'), level energies above 3600 are too high by 10-30 keV, the evaluators have considered this deviation in establishing the level correspondences. See (n, $\gamma$ ) E=th for many additional levels that are considered as tentative. The 2630 and 3050 groups in ( $\alpha$ , $^2\text{He}$ ) cannot be associated uniquely with any of the levels here due to the poor resolution in this reaction and high level density in this energy region.

<sup>‡</sup> When arguments are based on L values in particle-transfer reactions, L(d,p) is from  $9/2^+$   $^{73}\text{Ge}$  target; and L(d, $^3\text{He}$ ) is from  $3/2^-$   $^{75}\text{As}$  target.

<sup>#</sup>  $\Gamma$  are from ( $\gamma$ , $\gamma'$ ).

@ From (n,n' $\gamma$ ).

& From  $\gamma\gamma(\theta)$  and  $\gamma(\text{pol})$  in ( $\gamma$ , $\gamma'$ ), (pol  $\gamma$ , $\gamma'$ ).

<sup>a</sup> Primary  $\gamma$  from  $4^+$ ,  $5^+$ .

<sup>b</sup>  $\gamma'$ s to  $2^+$  and  $4^+$ .

<sup>c</sup> L(p,t)=(2) for E=3607 10.

<sup>d</sup> E=3639.77 10 with probable  $J^\pi=1,2^+$  is reported in  $\beta^-$  decay.

<sup>e</sup> E=3651.93 3 with probable  $J^\pi=1^+,2,3,4,5^+$  is reported in (n, $\gamma$ ) E=th.

<sup>f</sup> L=2 for E(t,p)=3824 5, L=(2) for E(p,p')=3825 10, L=4 for E(p,p')=3849 10, L=3+5 for E( $\alpha$ , $\alpha'$ )=3836 10, L=1+3 for E(d, $^3\text{He}$ )=3837 10 and L=1 for E(d,p)=3841 5 probably correspond to any of these levels.

<sup>g</sup> L=2 for E(t,p)=3953 8, L=4 for E(p,p')=3966 10, L=(3+5) for E( $\alpha$ , $\alpha'$ )=3948 10, L=3 for E(p,t)=3935 3 and L=3 for E(p,t)=3950 3 probably correspond to any of these levels.

<sup>h</sup> E=3874.17 4 is reported in (n, $\gamma$ ), and probably corresponds to either the 3874 or 3876 levels.

<sup>i</sup> For  $\gamma$  rays from this level see  $^{73}\text{Ge}$ (n, $\gamma$ ) E=th.

<sup>j</sup> Band(A): g.s. band.

**Adopted Levels, Gammas (continued)**

$\gamma(^{74}\text{Ge})$

Gammas are known mainly from <sup>74</sup>Ga  $\beta^-$  decay and <sup>73</sup>Ge(n, $\gamma$ ) E=thermal. Low energy  $\gamma$ 's are from curved-crystal spectrometer data in (n, $\gamma$ ). See (n, $\gamma$ ) E=th for many additional  $\gamma$  rays from tentative levels.

$E_i(\text{level})$	$J_i^\pi$	$E_\gamma$	$I_\gamma$	$E_f$	$J_f^\pi$	Mult. <sup>†</sup>	$\delta$	Comments
595.850	2 <sup>+</sup>	595.847 6	100	0.0	0 <sup>+</sup>	E2		B(E2)(W.u.)=33.0 4 Mult.: from $\gamma(\text{pol},\theta)$ .
1204.205	2 <sup>+</sup>	608.353 5	100 1	595.850	2 <sup>+</sup>	E2+M1	+3.4 4	B(M1)(W.u.)=0.00099 15; B(E2)(W.u.)=43 6 $\delta$ : from $\gamma\gamma(\theta)$ in <sup>74</sup> As $\varepsilon$ decay. Other: +2.2 3 from (n,n' $\gamma$ ). B(E2)(W.u.)=0.71 11
1463.759	4 <sup>+</sup>	1204.208 12	46 3	0.0	0 <sup>+</sup>	E2		B(E2)(W.u.)=41 3
1482.81	0 <sup>+</sup>	867.898 6	100	595.850	2 <sup>+</sup>	E2		B(E2)(W.u.)=9 +9-6
		887.19 7	100	595.850	2 <sup>+</sup>	E2		From ce data (1983Pa10).
		1482.6		0.0	0 <sup>+</sup>	E0		$I_{(\gamma+ce)}$ : <0.006 from <sup>74</sup> As $\varepsilon$ decay. $q_K^2(E0/E2)<0.12$ , $X(E0/E2)<0.052$ , $\rho^2(E0)>0.032$ (2005Ki02, evaluation).
1697.140	(3) <sup>+</sup>	233.395 12	2.1 2	1463.759	4 <sup>+</sup>			
		492.936 6	58 1	1204.205	2 <sup>+</sup>	(M1+E2)	+1.3 4	$\delta$ : from $\gamma(\theta)$ in (n,n' $\gamma$ ) (1970Ch15). Other: 2.0 +3-6 or 0.75 +15-6 (1987Do14). Mult.: D+Q from $\gamma(\theta)$ . $\Delta J^\pi$ =no from placement in level scheme.
		1101.267 12	100 1	595.850	2 <sup>+</sup>	(M1+E2)	+0.34 5	$\delta$ : from $\gamma(\theta)$ in (n,n' $\gamma$ ) (1970Ch15). Other: 0.47 5 (1987Do14). Mult.: D+Q from $\gamma(\theta)$ . $\Delta J^\pi$ =no from placement in level scheme.
1724.954	(0 <sup>+</sup> )	520.744 12	100	1204.205	2 <sup>+</sup>			
2165.259	(3,4) <sup>+</sup>	468.11 3	6.5 3	1697.140	(3) <sup>+</sup>			
		701.487 6	42.7 3	1463.759	4 <sup>+</sup>			
		961.055 10	100 1	1204.205	2 <sup>+</sup>	(M1(+E2))	0.01 1	$\delta$ : from $\gamma(\theta)$ in (n,n' $\gamma$ ) (1987Do14). Mult.: D+Q from $\gamma(\theta)$ . $\Delta J^\pi$ =no from placement in level scheme.
2197.933	2 <sup>+</sup>	715.17 3	35 2	1482.81	0 <sup>+</sup>			
		734.17 4	25 4	1463.759	4 <sup>+</sup>			
		993.67 6	100 5	1204.205	2 <sup>+</sup>	(E2+M1)	-2.8 2	$\delta$ : $\gamma\gamma(\theta)$ in <sup>74</sup> As $\varepsilon$ . Mult from $\Delta J^\pi$ . Mult.: D+Q from $\gamma(\theta)$ . $\Delta J^\pi$ =no from placement in level scheme.
		1602.0 2	45 4	595.850	2 <sup>+</sup>			
		2197.95 8	82 10	0.0	0 <sup>+</sup>			
2227.77	0 <sup>+</sup>	1021.9 1	38	1204.205	2 <sup>+</sup>			
		1631.89 12	100	595.850	2 <sup>+</sup>			
2403.5	1	2403.5 4		0.0	0 <sup>+</sup>			
2536.310	3 <sup>-</sup>	839.152 14	2.8 3	1697.140	(3) <sup>+</sup>			
		1332.12 7	31 2	1204.205	2 <sup>+</sup>			
		1940.53 15	100 2	595.850	2 <sup>+</sup>	(E1(+M2))	+0.02 2	$\delta$ : from $\gamma(\theta)$ in (n,n' $\gamma$ ) (1987Do14). Mult.: D+Q from $\gamma(\theta)$ . $\Delta J^\pi$ =yes from placement in level scheme.
2569.329	(6 <sup>+</sup> )	1105.562 12	100	1463.759	4 <sup>+</sup>			
2600.32	(1,2,3) <sup>+</sup>	2004.45 9	100 9	595.850	2 <sup>+</sup>			
2669.62	4 <sup>+</sup>	972.38 5	22 1	1697.140	(3) <sup>+</sup>			

## Adopted Levels, Gammas (continued)

 $\gamma(^{74}\text{Ge})$  (continued)

$E_i(\text{level})$	$J_i^\pi$	$E_\gamma$	$I_\gamma$	$E_f$	$J_f^\pi$	$E_i(\text{level})$	$J_i^\pi$	$E_\gamma$	$I_\gamma$	$E_f$	$J_f^\pi$
2669.62	4 <sup>+</sup>	1205.88 9	74 9	1463.759	4 <sup>+</sup>	3032.8	1	1828.6		1204.205	2 <sup>+</sup>
		2073.85 7	100 10	595.850	2 <sup>+</sup>			3032.8 2		0.0	0 <sup>+</sup>
2690.6	1	2690.6 3		0.0	0 <sup>+</sup>	3034.00	(3,4 <sup>+</sup> )	497.62 10	51 5	2536.310	3 <sup>-</sup>
2693.68	(3,4 <sup>+</sup> )	1489.35 5	100 2	1204.205	2 <sup>+</sup>			1337.18 <sup>#c</sup> 10	<85	1697.140	(3) <sup>+</sup>
		2098.00 7	31 3	595.850	2 <sup>+</sup>			1570.26 10	51 2	1463.759	4 <sup>+</sup>
2696.918	(2 <sup>+</sup> )	531.650 9	8.3 2	2165.259	(3,4) <sup>+</sup>			1829.86 10	100 3	1204.205	2 <sup>+</sup>
		999.781 12	100 1	1697.140	(3) <sup>+</sup>			2438.45 <sup>#</sup> 14	14 2	595.850	2 <sup>+</sup>
		1233.23 15	6.0 6	1463.759	4 <sup>+</sup>	3048.564	4 <sup>+</sup>	850.64 5	33 1	2197.933	2 <sup>+</sup>
2750.61	0 <sup>+</sup>	1546.4 3	100 15	1204.205	2 <sup>+</sup>			883.25 3	100 3	2165.259	(3,4) <sup>+</sup>
		2154.6 3	100 15	595.850	2 <sup>+</sup>			1844.62 10	100 10	1204.205	2 <sup>+</sup>
2828.507	4 <sup>+</sup>	663.19 6	1.2 1	2165.259	(3,4) <sup>+</sup>			3048.5 4	9 2	0.0	0 <sup>+</sup>
		1131.360 9	100 2	1697.140	(3) <sup>+</sup>	3060.1	(2 <sup>+</sup> to 6 <sup>+</sup> )	1596 1	100	1463.759	4 <sup>+</sup>
2833.41	(2 <sup>+</sup> )	667.8 3	35 3	2165.259	(3,4) <sup>+</sup>	3081.321	(3 <sup>+</sup> )	545.01 <sup>‡</sup> 1	11.8 3	2536.310	3 <sup>-</sup>
		1135.9 2	20 3	1697.140	(3) <sup>+</sup>			916.07 <sup>‡</sup> 5	20 1	2165.259	(3,4) <sup>+</sup>
		2237.9 2	100 4	595.850	2 <sup>+</sup>			1384.11 <sup>‡</sup> 8	57 3	1697.140	(3) <sup>+</sup>
2835.923	(2 <sup>+</sup> )	670.59 7	5.8 6	2165.259	(3,4) <sup>+</sup>			1617.64 8	100 4	1463.759	4 <sup>+</sup>
		1138.79 6	100 6	1697.140	(3) <sup>+</sup>	3092.2	1 <sup>(+)</sup>	1888.0		1204.205	2 <sup>+</sup>
		2240.1 3	23 3	595.850	2 <sup>+</sup>			3092.2 2		0.0	0 <sup>+</sup>
2856.04	0 <sup>+</sup>	1651.8 3	100 20	1204.205	2 <sup>+</sup>	3104.506	5 <sup>-</sup>	939.23 2	100 2	2165.259	(3,4) <sup>+</sup>
		2260.0 4	100 20	595.850	2 <sup>+</sup>			1640.8 1	47 3	1463.759	4 <sup>+</sup>
2878.14	(5 <sup>-</sup> )	712.8 2	100 13	2165.259	(3,4) <sup>+</sup>	3118.0	3 <sup>-</sup> , 4 <sup>-</sup> , 5 <sup>-</sup> , 6 <sup>-</sup>	182.4 2	100 5	2935.475	3 <sup>-</sup>
		1414.4 2	67 13	1463.759	4 <sup>+</sup>			1654.1 2	12 2	1463.759	4 <sup>+</sup>
2925.45	(3,4 <sup>+</sup> )	1228.29 9	100 4	1697.140	(3) <sup>+</sup>	3139.32		1675.6 2	100	1463.759	4 <sup>+</sup>
		1721.3 2	19 1	1204.205	2 <sup>+</sup>	3140.30	3 <sup>-</sup>	604.21 10	100 7	2536.310	3 <sup>-</sup>
2935.475	3 <sup>-</sup>	399.08 3	0.42 3	2536.310	3 <sup>-</sup>			942.47 7	45 2	2197.933	2 <sup>+</sup>
		770.212 12	14.0 2	2165.259	(3,4) <sup>+</sup>			975.1 3	9.4 10	2165.259	(3,4) <sup>+</sup>
		1471.72 3	100 1	1463.759	4 <sup>+</sup>			1443.38 <sup>dc</sup> 7	<125 <sup>d</sup>	1697.140	(3) <sup>+</sup>
2938.7	2 <sup>+</sup>	2342.8 2	100	595.850	2 <sup>+</sup>			1676.77 14	25 1	1463.759	4 <sup>+</sup>
2949.48	(3 <sup>-</sup> )	784.3 <sup>#</sup> 2	1.5 2	2165.259	(3,4) <sup>+</sup>	3175.47	3 <sup>-</sup>	141.52 <sup>‡</sup> 3	21 6	3034.00	(3,4) <sup>+</sup>
		1744.9 2	10.8 3	1204.205	2 <sup>+</sup>			481.7 <sup>‡&amp;e</sup> 1	56 12	2693.68	(3,4) <sup>+</sup>
		2353.46 19	100 3	595.850	2 <sup>+</sup>			639.10 <sup>#</sup> 10	65 4	2536.310	3 <sup>-</sup>
2961.0	(5 <sup>-</sup> )	1756.7 2	100	1204.205	2 <sup>+</sup>			1478.2 3	24 3	1697.140	(3) <sup>+</sup>
2973.472	(3)	437.20 <sup>‡</sup> 3	0.8 1	2536.310	3 <sup>-</sup>			1971.0 2	16 4	1204.205	2 <sup>+</sup>
		808.23 <sup>‡</sup> 2	33 1	2165.259	(3,4) <sup>+</sup>			2580.07 <sup>a</sup> 10	100 5	595.850	2 <sup>+</sup>
		1509.66 9	100 2	1463.759	4 <sup>+</sup>	3199.5	2 <sup>+</sup>	663.2 2	100 10	2536.310	3 <sup>-</sup>
		2973.1 <sup>‡</sup> 4	2.5 3	0.0	0 <sup>+</sup>			2603.6 2	100 10	595.850	2 <sup>+</sup>
2999.2	2 <sup>+</sup>	777 <sup>@</sup> 4		2227.77	0 <sup>+</sup>	3211.8?		2616.67 <sup>e</sup> 9		595.850	2 <sup>+</sup>
		1794.3 1	30 5	1204.205	2 <sup>+</sup>			3211.11 <sup>de</sup> 11	<sup>d</sup>	0.0	0 <sup>+</sup>
		2402.7 1	100 8	595.850	2 <sup>+</sup>	3224.680	4 <sup>+</sup>	251.22 1	34 1	2973.472	(3)
		2999 1	25 5	0.0	0 <sup>+</sup>			289.19 1	100 2	2935.475	3 <sup>-</sup>

## Adopted Levels, Gammas (continued)

 $\gamma(^{74}\text{Ge})$  (continued)

$E_i(\text{level})$	$J_i^\pi$	$E_\gamma$	$I_\gamma$	$E_f$	$J_f^\pi$	$E_i(\text{level})$	$J_i^\pi$	$E_\gamma$	$I_\gamma$	$E_f$	$J_f^\pi$
3224.680	4 <sup>+</sup>	396.18 3	26 2	2828.507	4 <sup>+</sup>	3639.5?		3639.45 <sup>de</sup> 13	<160 <sup>d</sup>	0.0	0 <sup>+</sup>
3271.51	(2 <sup>+</sup> )	1043.6 3	8 2	2227.77	0 <sup>+</sup>	3647.9	1 <sup>+</sup>	3647.9 7		0.0	0 <sup>+</sup>
		1546.7 4	4 1	1724.954	(0 <sup>+</sup> )	3681	(8 <sup>+</sup> )	1112		2569.329	(6 <sup>+</sup> )
		1807.5 1	100 10	1463.759	4 <sup>+</sup>	3685.42	(2 to 5 <sup>+</sup> )	604.10 12	100	3081.321	(3 <sup>+</sup> )
3276.3	1	3276.3 2		0.0	0 <sup>+</sup>	3691.79	3 <sup>-</sup>	657.84 4	5.2 3	3034.00	(3,4 <sup>+</sup> )
3315.72	4 <sup>+</sup>	746.40 4	13 1	2569.329	(6 <sup>+</sup> )			756.24 9	4.6 5	2935.475	3 <sup>-</sup>
		1150.43 4	100 3	2165.259	(3,4) <sup>+</sup>			1022.05 10	10 2	2669.62	4 <sup>+</sup>
3342.94	(3 <sup>-</sup> ,4 <sup>+</sup> )	1177.42 18	29 3	2165.259	(3,4) <sup>+</sup>	3696.59	(3,4)	521.0 5	19 4	3175.47	3 <sup>-</sup>
		2138.62 10	100 5	1204.205	2 <sup>+</sup>			1160.33 10	100 7	2536.310	3 <sup>-</sup>
		2747.13 10	100 6	595.850	2 <sup>+</sup>			1999.3 2	64 6	1697.140	(3) <sup>+</sup>
3358.517	(2 <sup>+</sup> ,3,4 <sup>+</sup> )	530.01 2	100 4	2828.507	4 <sup>+</sup>			2231.9 5	16 15	1463.759	4 <sup>+</sup>
		1160.5 2	98 10	2197.933	2 <sup>+</sup>	3707.20	(3,4,5)	1170.88 14	100	2536.310	3 <sup>-</sup>
3381.74	3 <sup>-</sup>	2785.83 5	100	595.850	2 <sup>+</sup>	3716.7	(1 <sup>-</sup> ,2 <sup>+</sup> )	540.9 5	100 18	3175.47	3 <sup>-</sup>
3392.618	2 <sup>+</sup>	311.32 3	16 1	3081.321	(3 <sup>+</sup> )			3717.1 7	18 6	0.0	0 <sup>+</sup>
		556.68 3	7.5 6	2835.923	(2 <sup>+</sup> )	3720.79	(3,4 <sup>+</sup> )	545.5 <sup>#</sup> 5	3.7 11	3175.47	3 <sup>-</sup>
		695.69 2	30.0 6	2696.918	(2 <sup>+</sup> )			1184.4 <sup>#</sup> 2	16 2	2536.310	3 <sup>-</sup>
		1227.2 2	100 1	2165.259	(3,4) <sup>+</sup>			2023.6 3	30 7	1697.140	(3) <sup>+</sup>
3409.931	(3,4 <sup>+</sup> )	574.03 4	5.1 4	2835.923	(2 <sup>+</sup> )			2257.0 1	100 3	1463.759	4 <sup>+</sup>
		581.47 4	3.1 6	2828.507	4 <sup>+</sup>	3743.348	(3 <sup>-</sup> ,4 <sup>+</sup> )	472.04 16	32 10	3271.51	(2 <sup>+</sup> )
		712.99 5	7.4 4	2696.918	(2 <sup>+</sup> )			567.92 7	8 3	3175.47	3 <sup>-</sup>
		1712.96 12	100 6	1697.140	(3) <sup>+</sup>			638.83 2	100 3	3104.506	5 <sup>-</sup>
3478.37	(2,3) <sup>+</sup>	1945.9 2	16 2	1463.759	4 <sup>+</sup>	3771.74	(2 <sup>+</sup> ,3,4 <sup>+</sup> )	723.21 5	7.7 7	3048.564	4 <sup>+</sup>
		302.98 3	10 2	3175.47	3 <sup>-</sup>			1573.75 9	100 4	2197.933	2 <sup>+</sup>
		429.73 <sup>‡</sup> 5	8 2	3048.564	4 <sup>+</sup>			2307.5 6	3.6 7	1463.759	4 <sup>+</sup>
		444.2 <sup>#</sup> 5	4 2	3034.00	(3,4 <sup>+</sup> )			2567.4 1	24 3	1204.205	2 <sup>+</sup>
		942.15 <sup>‡</sup> 10	7 3	2536.310	3 <sup>-</sup>	3783.41	(2 <sup>+</sup> ,3,4 <sup>+</sup> )	467.68 6	43 10	3315.72	4 <sup>+</sup>
		1312.81 11	51 4	2165.259	(3,4) <sup>+</sup>			2579.15 <sup>b</sup> 8	100	1204.205	2 <sup>+</sup>
3515.441	(3,4 <sup>+</sup> )	2014.50 6	100 5	1463.759	4 <sup>+</sup>	3790.90	(3,4 <sup>+</sup> )	519.47 9	5.4 14	3271.51	(2 <sup>+</sup> )
		541.96 1	76 2	2973.472	(3)			1254.47 10	100 3	2536.310	3 <sup>-</sup>
		579.97 1	96 2	2935.475	3 <sup>-</sup>	3806.772	3 <sup>-</sup>	291.33 2	24 3	3515.441	(3,4 <sup>+</sup> )
		679.4 1	8 2	2835.923	(2 <sup>+</sup> )			2342.89 12	75 1	1463.759	4 <sup>+</sup>
		686.90 6	9 1	2828.507	4 <sup>+</sup>			3210.94 8	100 4	595.850	2 <sup>+</sup>
		1350.19 12	100 7	2165.259	(3,4) <sup>+</sup>	3807.03		2109.8 <sup>e</sup> 6		1697.140	(3) <sup>+</sup>
3557.9	1 <sup>(-)</sup>	2962.1		595.850	2 <sup>+</sup>			3211.11 <sup>d</sup> 11	<sup>d</sup>	595.850	2 <sup>+</sup>
		3557.9 3		0.0	0 <sup>+</sup>	3828.23	(1 <sup>-</sup> to 4 <sup>+</sup> )	484.9 3	100 5	3342.94	(3 <sup>-</sup> ,4 <sup>+</sup> )
3566.75	(2 <sup>+</sup> ,3,4 <sup>+</sup> )	2362.36 13	15 2	1204.205	2 <sup>+</sup>			652.5 5	6 3	3175.47	3 <sup>-</sup>
		2970.92 10	100 4	595.850	2 <sup>+</sup>			1134.5 3	36 4	2693.68	(3,4 <sup>+</sup> )
3578.93	2 <sup>+</sup>	643.44 3	64 3	2935.475	3 <sup>-</sup>			1630.7 10	9 8	2197.933	2 <sup>+</sup>
		2115.5 4	51 6	1463.759	4 <sup>+</sup>			2131.5 4	19 1	1697.140	(3) <sup>+</sup>
		3578.9 2	100 6	0.0	0 <sup>+</sup>			2625.3 <sup>e</sup> 4	7 1	1204.205	2 <sup>+</sup>
3639.5?		3043.6 <sup>e</sup> 4	100 20	595.850	2 <sup>+</sup>			3232.34 11	56 7	595.850	2 <sup>+</sup>

## Adopted Levels, Gammas (continued)

 $\gamma(^{74}\text{Ge})$  (continued)

$E_i(\text{level})$	$J_i^\pi$	$E_\gamma$	$I_\gamma$	$E_f$	$J_f^\pi$	$E_i(\text{level})$	$J_i^\pi$	$E_\gamma$	$I_\gamma$	$E_f$	$J_f^\pi$
3832.23	(2 <sup>+</sup> ,3,4 <sup>+</sup> )	560.68 3	13 1	3271.51	(2 <sup>+</sup> )	3995.05	(2 <sup>+</sup> ,3,4 <sup>+</sup> )	3992.4 <sup>e</sup> 10	7 2	0.0	0 <sup>+</sup>
		692.46 <sup>c</sup> 8	10 2	3140.30	3 <sup>-</sup>	3995.83	(2 <sup>+</sup> )	212.40 <sup>‡</sup> 7	6 2	3783.41	(2 <sup>+</sup> ,3,4 <sup>+</sup> )
		996.1 3	24 7	2835.923	(2 <sup>+</sup> )			2532.03 <sup>‡</sup> 7	100 10	1463.759	4 <sup>+</sup>
		1003.5 2	55 14	2828.507	4 <sup>+</sup>			2790.4 <sup>c</sup> 4	11 1	1204.205	2 <sup>+</sup>
		2368.17 9	100 10	1463.759	4 <sup>+</sup>			3996.1 2	21 2	0.0	0 <sup>+</sup>
3835.27	(2 <sup>+</sup> ,3,4 <sup>+</sup> )	476.75 5	23 6	3358.517	(2 <sup>+</sup> ,3,4 <sup>+</sup> )	4006.8	1	4006.8 4		0.0	0 <sup>+</sup>
		786.8 3	13 2	3048.564	4 <sup>+</sup>	4022.94	2 <sup>+</sup>	443.94 12	22 6	3578.93	2 <sup>+</sup>
		2630.96 20	24 3	1204.205	2 <sup>+</sup>			1087.56 10	100 10	2935.475	3 <sup>-</sup>
		3239.35 7	100 4	595.850	2 <sup>+</sup>			3426.95 11	57 3	595.850	2 <sup>+</sup>
3874.17	2 <sup>+</sup>	182.40 2	6.1 5	3691.79	3 <sup>-</sup>	4030.1	(2 <sup>+</sup> ,3,4 <sup>+</sup> )	1460.8 6	100 29	2569.329	(6 <sup>+</sup> )
		1338.05 8	100 10	2536.310	3 <sup>-</sup>			3434.2 6	12 4	595.850	2 <sup>+</sup>
3874.9	1 <sup>+</sup>	3874.9 3		0.0	0 <sup>+</sup>	4064.66	(2 to 5)	174.96 1	17 3	3889.69	(2 <sup>+</sup> ,3,4 <sup>+</sup> )
3889.69	(2 <sup>+</sup> ,3,4 <sup>+</sup> )	146.33 3	17 4	3743.348	(3 <sup>-</sup> ,4 <sup>+</sup> )			654.79 4	46 2	3409.931	(3,4 <sup>+</sup> )
		841.1 2	100 8	3048.564	4 <sup>+</sup>			2601.0 2	100 13	1463.759	4 <sup>+</sup>
3895.01	(2,3,4 <sup>+</sup> )	551.8 5	11 3	3342.94	(3 <sup>-</sup> ,4 <sup>+</sup> )	4084.9	1 <sup>+</sup>	4084.9 5		0.0	0 <sup>+</sup>
		1357.9 <sup>c</sup> 2	32 3	2536.310	3 <sup>-</sup>	4171.5	1	4171.5 3		0.0	0 <sup>+</sup>
		2197.95 10	33 3	1697.140	(3) <sup>+</sup>	4201.55	2 <sup>+</sup>	504.7 5	15 4	3696.59	(3,4)
		2690.96 9	100 3	1204.205	2 <sup>+</sup>			1024.6 <sup>c</sup> 5	21 4	3175.47	3 <sup>-</sup>
		3298.93 10	35 4	595.850	2 <sup>+</sup>			2004.6 <sup>c</sup> 2	76 7	2197.933	2 <sup>+</sup>
		3895.0 <sup>e</sup> 4	4 1	0.0	0 <sup>+</sup>			2036.2 4	25 6	2165.259	(3,4) <sup>+</sup>
3897.98	(2 <sup>+</sup> to 6 <sup>+</sup> )	419.61 2	100	3478.37	(2,3) <sup>+</sup>			2504.2 2	100 11	1697.140	(3) <sup>+</sup>
3932.98	(1 <sup>+</sup> ,2,3,4 <sup>+</sup> )	189.63 3	6 1	3743.348	(3 <sup>-</sup> ,4 <sup>+</sup> )			2737.86 16	15 2	1463.759	4 <sup>+</sup>
		212.17 5	9 2	3720.79	(3,4 <sup>+</sup> )			2997.2 5	15 2	1204.205	2 <sup>+</sup>
		1236.12 17	100 18	2696.918	(2 <sup>+</sup> )			3605.35 12	55 7	595.850	2 <sup>+</sup>
		1767.7 7	13 1	2165.259	(3,4) <sup>+</sup>	4204.67	(2 <sup>+</sup> to 5 <sup>-</sup> )	159.28 3	40 9	4045.43	
3941.09	(2 <sup>+</sup> ,3 <sup>-</sup> )	1112.6 2	100 13	2828.507	4 <sup>+</sup>			933.4 4	74 32	3271.51	(2 <sup>+</sup> )
		1776.1 4	99 10	2165.259	(3,4) <sup>+</sup>			1269.2 2	100 13	2935.475	3 <sup>-</sup>
		2243.7 3	32 3	1697.140	(3) <sup>+</sup>			1534.9 3	32 6	2669.62	4 <sup>+</sup>
3949.80	(2 <sup>+</sup> ,3,4 <sup>+</sup> )	471.1 5	55 7	3478.37	(2,3) <sup>+</sup>	4217.30	(2 <sup>+</sup> ,3,4 <sup>+</sup> )	1136.0 3	24 5	3081.321	(3 <sup>+</sup> )
		809.3 3	42 9	3140.30	3 <sup>-</sup>			1381.6 2	28 4	2835.923	(2 <sup>+</sup> )
		999.9 2	37 13	2949.48	(3 <sup>-</sup> )			2019.1 2	64 9	2197.933	2 <sup>+</sup>
		2486.3 4	11 6	1463.759	4 <sup>+</sup>			2753.62 12	100 9	1463.759	4 <sup>+</sup>
		3354.03 12	100 8	595.850	2 <sup>+</sup>	4222.9	(2 <sup>+</sup> ,3 <sup>+</sup> ,4 <sup>+</sup> )	3018.8 4	100 15	1204.205	2 <sup>+</sup>
3958.03	3 <sup>-</sup>	1261.1 2	100	2696.918	(2 <sup>+</sup> )			3626.7 4	50 22	595.850	2 <sup>+</sup>
3975.86	(2 <sup>+</sup> )	1282.1 3	100 15	2693.68	(3,4 <sup>+</sup> )	4224.9	1 <sup>-</sup>	4224.9 8		0.0	0 <sup>+</sup>
		2278.7 1	12 2	1697.140	(3) <sup>+</sup>	4235.33	(2,3,4) <sup>+</sup>	258.8 5	67 17	3976.23	(2,3,4 <sup>+</sup> )
		2771.6 3	65 6	1204.205	2 <sup>+</sup>			3030.3 5	100 28	1204.205	2 <sup>+</sup>
		3975.7 2	50 4	0.0	0 <sup>+</sup>			3639.45 <sup>d</sup> 13	<44 <sup>d</sup>	595.850	2 <sup>+</sup>
3976.23	(2,3,4 <sup>+</sup> )	2279.05 9	100 4	1697.140	(3) <sup>+</sup>	4305.8	1	4305.8 13		0.0	0 <sup>+</sup>
		2771.8 4	4.7 8	1204.205	2 <sup>+</sup>	4339.67	(2 <sup>+</sup> )	122.37 2	6.5 13	4217.30	(2 <sup>+</sup> ,3,4 <sup>+</sup> )
3995.05	(2 <sup>+</sup> ,3,4 <sup>+</sup> )	2790.79 10	100 9	1204.205	2 <sup>+</sup>			618.90 8	4.8 11	3720.79	(3,4 <sup>+</sup> )

Adopted Levels, Gammas (continued)

$\gamma(^{74}\text{Ge})$  (continued)

$E_i(\text{level})$	$J_i^\pi$	$E_\gamma$	$I_\gamma$	$E_f$	$J_f^\pi$	$E_i(\text{level})$	$J_i^\pi$	$E_\gamma$	$I_\gamma$	$E_f$	$J_f^\pi$
4339.67	(2 <sup>+</sup> )	648.2 2	4.8 11	3691.79	3 <sup>-</sup>	4611.42	(2 <sup>-</sup> ,3 <sup>-</sup> ,4 <sup>-</sup> )	2074.14 <sup>c</sup> 25	100 14	2536.310	3 <sup>-</sup>
		1258.37 8	100 4	3081.321	(3 <sup>+</sup> )	4630.43	(2 <sup>+</sup> )	516.27 12	100 33	4119	3 <sup>-</sup> ,4 <sup>-</sup> ,5 <sup>-</sup> ,6 <sup>-</sup>
		1739.2 6	67 16	2600.32	(1,2,3) <sup>+</sup>			2094.0 2	9 1	2536.310	3 <sup>-</sup>
		2111.9 2	20 2	2227.77	0 <sup>+</sup>			2905.23 9	23 2	1724.954	(0 <sup>+</sup> )
4342.6	1	4342.6 3		0.0	0 <sup>+</sup>			4034.70 10	16 1	595.850	2 <sup>+</sup>
4367.2	(1 <sup>-</sup> to 5 <sup>-</sup> )	1024.3 5	100 20	3342.94	(3 <sup>-</sup> ,4 <sup>+</sup> )			4630.6 7	1.7 6	0.0	0 <sup>+</sup>
		1417.6 7	80 7	2949.48	(3 <sup>-</sup> )	4698.29	(2 <sup>-</sup> ,3 <sup>-</sup> ,4 <sup>-</sup> )	1131.52 14	100 6	3566.75	(2 <sup>+</sup> ,3,4 <sup>+</sup> )
4368.15	(2 <sup>+</sup> )	1009.64 8	47 10	3358.517	(2 <sup>+</sup> ,3,4 <sup>+</sup> )			2004.6 2	57 6	2693.68	(3,4 <sup>+</sup> )
		1263.6 3	100 13	3104.506	5 <sup>-</sup>	4840.92	(2 <sup>+</sup> )	685.66 3	21 1	4155.25?	
		1394.8 5	27 7	2973.472	(3)			966.7 2	48 9	3874.17	2 <sup>+</sup>
		1539.58 10	32 3	2828.507	4 <sup>+</sup>			1482.5 4	100 19	3358.517	(2 <sup>+</sup> ,3,4 <sup>+</sup> )
		2202.4 7	8 2	2165.259	(3,4) <sup>+</sup>			1735.9 <sup>dc</sup> 9	90 <sup>d</sup> 24	3104.506	5 <sup>-</sup>
		4368.4 5	5.7 10	0.0	0 <sup>+</sup>			2171.3 2	8.6 3	2669.62	4 <sup>+</sup>
4413.54	2 <sup>+</sup>	606.87 <sup>d</sup> 13	100 <sup>d</sup> 24	3806.772	3 <sup>-</sup>			2675.9 4	14 3	2165.259	(3,4) <sup>+</sup>
		2716.2 2	11 1	1697.140	(3) <sup>+</sup>			3377.0 2	40 3	1463.759	4 <sup>+</sup>
		2949.6 2	22 3	1463.759	4 <sup>+</sup>			4245.0 5	32 6	595.850	2 <sup>+</sup>
4439.98	(2,3,4)	100.31 1	16 4	4339.67	(2 <sup>+</sup> )			4840.9 9	71 3	0.0	0 <sup>+</sup>
		1058.0 3	24 5	3381.74	3 <sup>-</sup>	4972.55	(2 <sup>+</sup> )	1200.9 <sup>d</sup> 2	100 <sup>d</sup> 33	3771.74	(2 <sup>+</sup> ,3,4 <sup>+</sup> )
		1839.9 4	45 5	2600.32	(1,2,3) <sup>+</sup>			1393.3 <sup>d</sup> 3	13 <sup>d</sup> 2	3578.93	2 <sup>+</sup>
		2742.9 2	100 10	1697.140	(3) <sup>+</sup>			2037.03 11	38 3	2935.475	3 <sup>-</sup>
4442.18	(2 <sup>+</sup> ,3,4 <sup>+</sup> )	606.87 <sup>d</sup> 13	100 <sup>d</sup> 24	3835.27	(2 <sup>+</sup> ,3,4 <sup>+</sup> )			3275.5 3	6 1	1697.140	(3) <sup>+</sup>
		750.37 5	10 1	3691.79	3 <sup>-</sup>			3489.9 3	10 2	1482.81	0 <sup>+</sup>
		1049.50 <sup>d</sup> 9	21 <sup>d</sup> 2	3392.618	2 <sup>+</sup>			4972.0 4	20 2	0.0	0 <sup>+</sup>
		1303.0 <sup>dc</sup> 3	15 <sup>d</sup> 2	3140.30	3 <sup>-</sup>	5131.45	(2 to 6)	691.48 8	10 3	4439.98	(2,3,4)
		1393.3 <sup>d</sup> 3	16 <sup>d</sup> 3	3048.564	4 <sup>+</sup>			1735.9 <sup>d</sup> 9	100 <sup>d</sup> 26	3392.618	2 <sup>+</sup>
		1872.82 13	38 3	2569.329	(6 <sup>+</sup> )			2082.3 6	15 3	3048.564	4 <sup>+</sup>
4477.49	(0 <sup>+</sup> to 4 <sup>+</sup> )	999.9 <sup>c</sup> 2		3478.37	(2,3) <sup>+</sup>			2562.13 13	95 8	2569.329	(6 <sup>+</sup> )
		1134.5 3		3342.94	(3 <sup>-</sup> ,4 <sup>+</sup> )			2965.9 3	33 4	2165.259	(3,4) <sup>+</sup>
		1337.18 10		3140.30	3 <sup>-</sup>			3668.0 4	37 6	1463.759	4 <sup>+</sup>
		1443.38 <sup>d</sup> 7	<sup>d</sup>	3034.00	(3,4 <sup>+</sup> )	5434.8	1 <sup>-</sup>	5434.8 5		0.0	0 <sup>+</sup>
		3274.1 12		1204.205	2 <sup>+</sup>	5485.1	1	5485.1 12		0.0	0 <sup>+</sup>
4527.89	(2 <sup>+</sup> )	784.55 3	100 2	3743.348	(3 <sup>-</sup> ,4 <sup>+</sup> )	5493.1	1	5493.1 10		0.0	0 <sup>+</sup>
		1049.50 <sup>d</sup> 9	71 <sup>d</sup> 6	3478.37	(2,3) <sup>+</sup>	5514.8	1	5514.8 8		0.0	0 <sup>+</sup>
		1303.0 <sup>d</sup> 3	49 <sup>d</sup> 6	3224.680	4 <sup>+</sup>	5743.7	1	5743.7 10		0.0	0 <sup>+</sup>
		1958.1 4	16 3	2569.329	(6 <sup>+</sup> )	5766.7	1 <sup>(+)</sup>	5766.7 4		0.0	0 <sup>+</sup>
		2362.7 4	24 3	2165.259	(3,4) <sup>+</sup>	6017.4	1 <sup>-</sup>	3017 4	4.9 25	2999.2	2 <sup>+</sup>
		3044.8 2	47 5	1482.81	0 <sup>+</sup>			3418 4	2.4 12	2600.32	(1,2,3) <sup>+</sup>
		3064.5 9	8 3	1463.759	4 <sup>+</sup>			3789 4	9.8 24	2227.77	0 <sup>+</sup>
4611.42	(2 <sup>-</sup> ,3 <sup>-</sup> ,4 <sup>-</sup> )	1471.7 2	72 8	3140.30	3 <sup>-</sup>			3818 4	22.0 24	2197.933	2 <sup>+</sup>

Adopted Levels, Gammas (continued)

$\gamma(^{74}\text{Ge})$  (continued)

$E_i(\text{level})$	$J_i^\pi$	$E_\gamma$	$I_\gamma$	$E_f$	$J_f^\pi$	Mult. <sup>†</sup>	$E_i(\text{level})$	$J_i^\pi$	$E_\gamma$	$E_f$	$J_f^\pi$
6017.4	1 <sup>-</sup>	4301 <sup>e</sup> 4		1724.954	(0 <sup>+</sup> )		7150.8	1 <sup>-</sup>	7150.8 16	0.0	0 <sup>+</sup>
		4532 4	14.6 24	1482.81	0 <sup>+</sup>		7264.6	1 <sup>-</sup>	7264.6 6	0.0	0 <sup>+</sup>
		4812 4	39 5	1204.205	2 <sup>+</sup>		7379.9	1	7379.9 10	0.0	0 <sup>+</sup>
		5422 4	100 10	595.850	2 <sup>+</sup>	E1	7445.3	1	7445.3 11	0.0	0 <sup>+</sup>
		6018 4	46 5	0.0	0 <sup>+</sup>	E1	7506.7	1 <sup>(-)</sup>	7506.7 10	0.0	0 <sup>+</sup>
6445.1	1	6445.1 11		0.0	0 <sup>+</sup>		7550.7	1 <sup>-</sup>	7550.7 7	0.0	0 <sup>+</sup>
6477.9	1 <sup>-</sup>	6477.9 6		0.0	0 <sup>+</sup>		7616.0	1	7616.0 8	0.0	0 <sup>+</sup>
6650.3	1 <sup>-</sup>	6650.3 3		0.0	0 <sup>+</sup>		7652.1	1 <sup>-</sup>	7652.1 6	0.0	0 <sup>+</sup>
6660.5	1 <sup>-</sup>	6660.5 5		0.0	0 <sup>+</sup>		8219.0	1	8219.0 8	0.0	0 <sup>+</sup>
6732.7	1 <sup>+</sup>	6732.7 8		0.0	0 <sup>+</sup>		8250.2	1	8250.2 8	0.0	0 <sup>+</sup>
6942.6	1 <sup>-</sup>	6942.6 6		0.0	0 <sup>+</sup>		8361.1	1	8361.1 12	0.0	0 <sup>+</sup>

<sup>†</sup> From measured  $T_{1/2}$  of levels and RUL of Weisskopf estimates for transitions of E2 or M2 multipolarity.

<sup>‡</sup> Reported in (n, $\gamma$ ) E=th only.

# Reported in <sup>74</sup>Ga  $\beta^-$  only.

@ Reported in ( $\gamma,\gamma'$ ) only.

& Placement in (n, $\gamma$ ) uncertain since no  $\gamma$  seen in <sup>74</sup>Ga  $\beta^-$ .

<sup>a</sup> Poor energy fit. Possible a doublet. See 3783 level.

<sup>b</sup> Most probably a doublet. The second component belongs with the 3175 level.

<sup>c</sup> Poor energy fit.

<sup>d</sup> Multiply placed with undivided intensity.

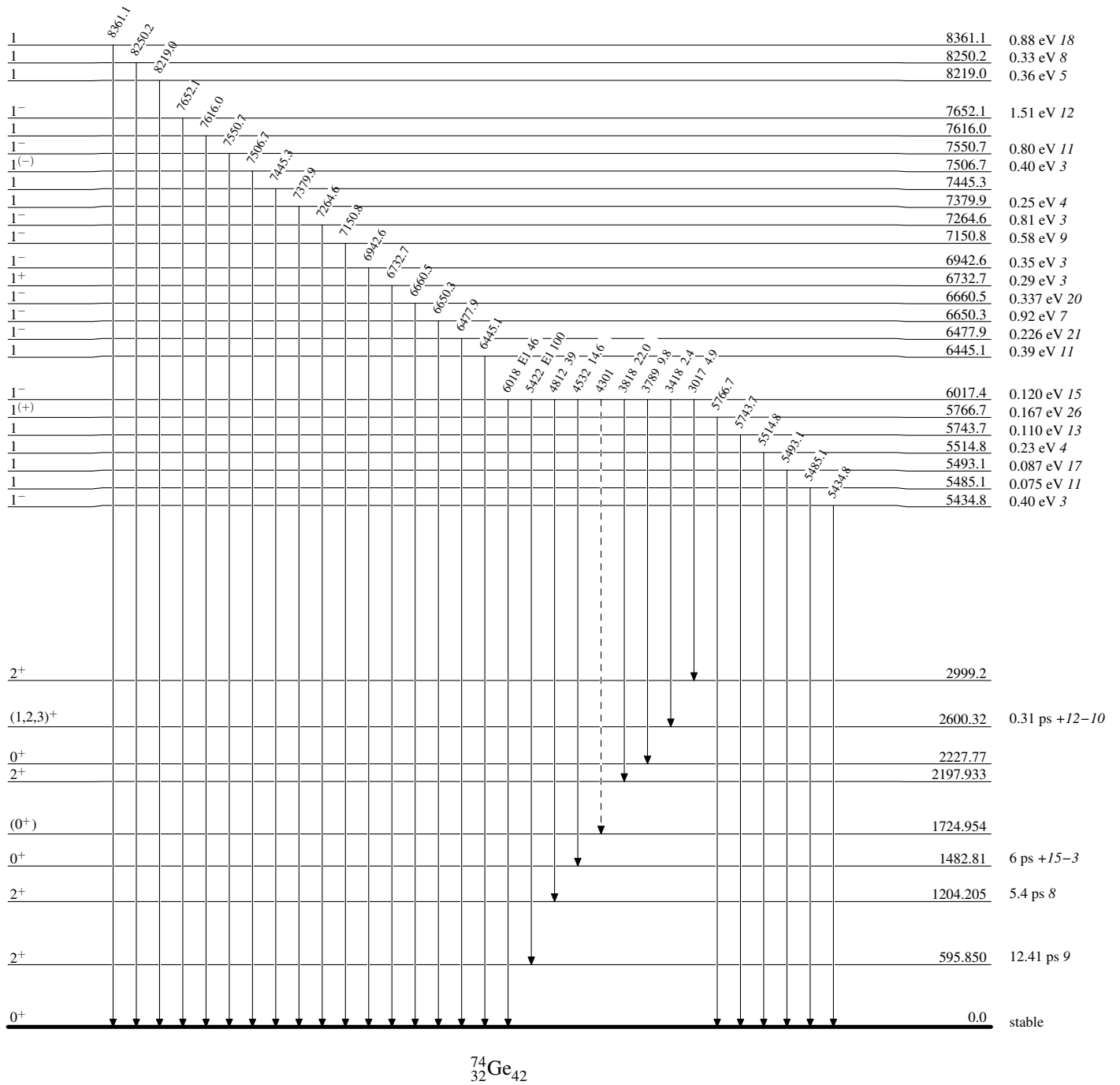
<sup>e</sup> Placement of transition in the level scheme is uncertain.

**Adopted Levels, Gammas**

Legend

**Level Scheme**

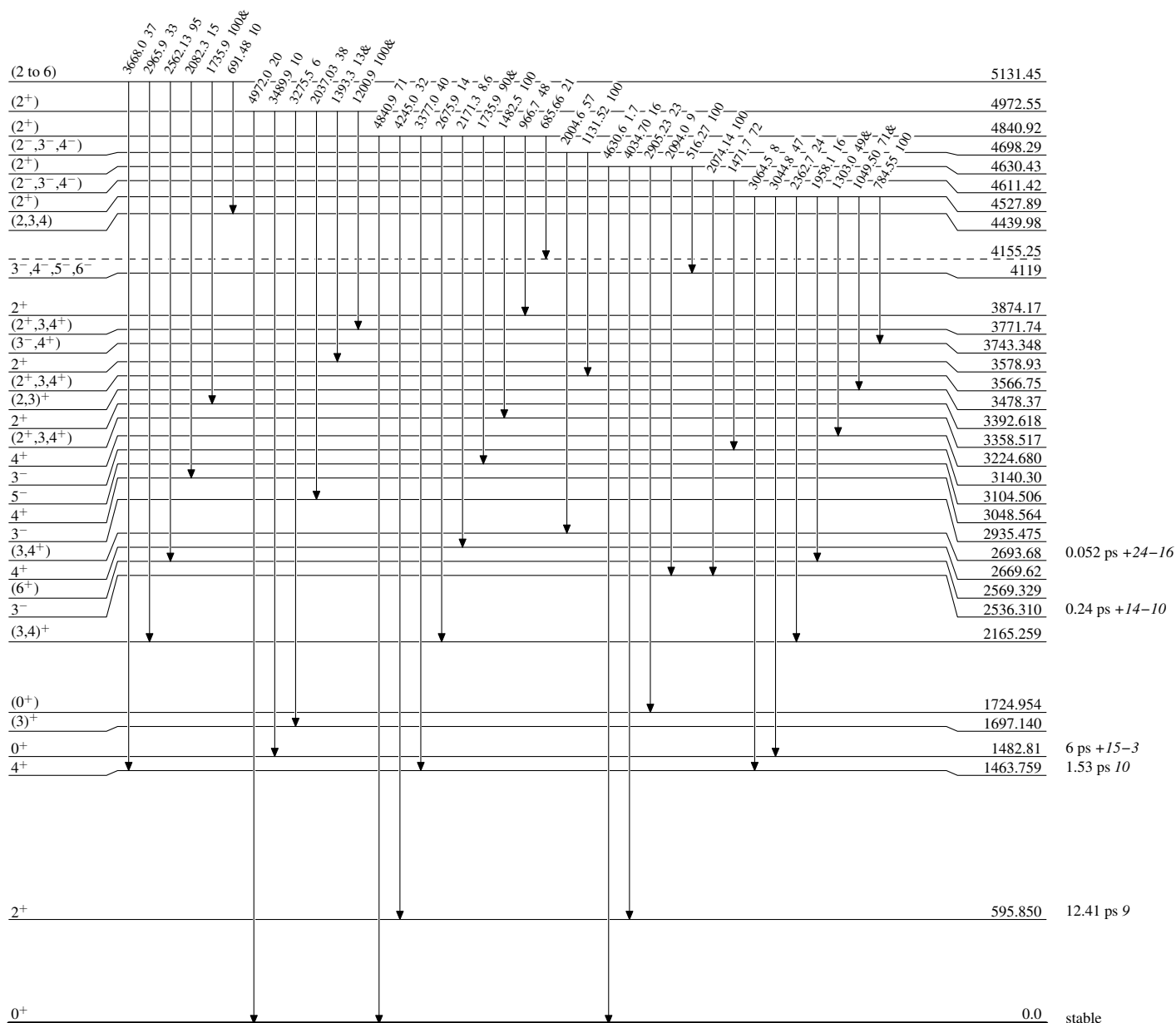
Intensities: Relative photon branching from each level

-----►  $\gamma$  Decay (Uncertain) $^{74}_{32}\text{Ge}_{42}$



**Adopted Levels, Gammas****Level Scheme (continued)**

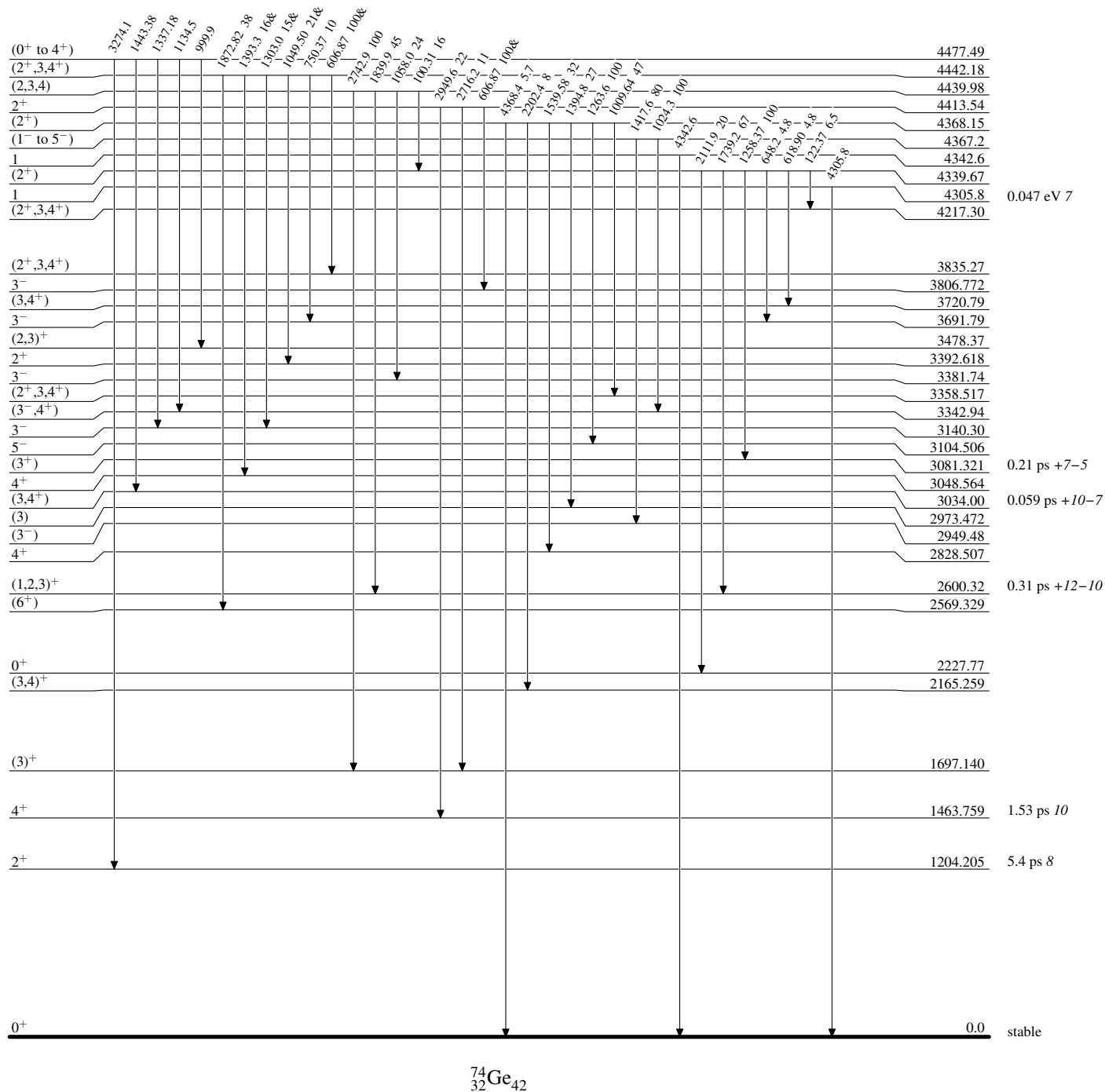
Intensities: Relative photon branching from each level  
& Multiply placed: undivided intensity given



# Adopted Levels, Gammas

## Level Scheme (continued)

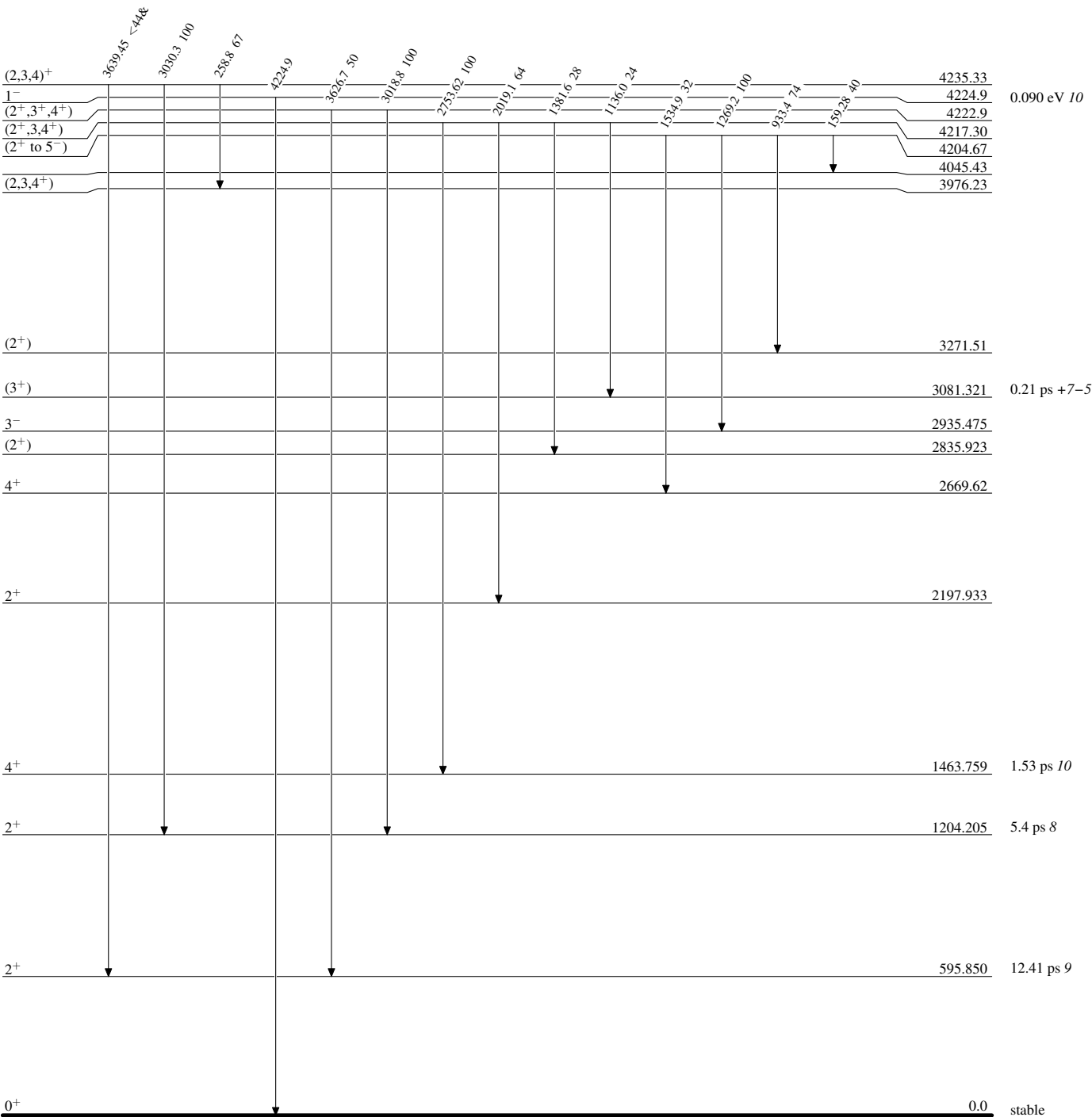
Intensities: Relative photon branching from each level  
& Multiply placed: undivided intensity given



Adopted Levels, Gammas

Level Scheme (continued)

Intensities: Relative photon branching from each level  
& Multiply placed: undivided intensity given

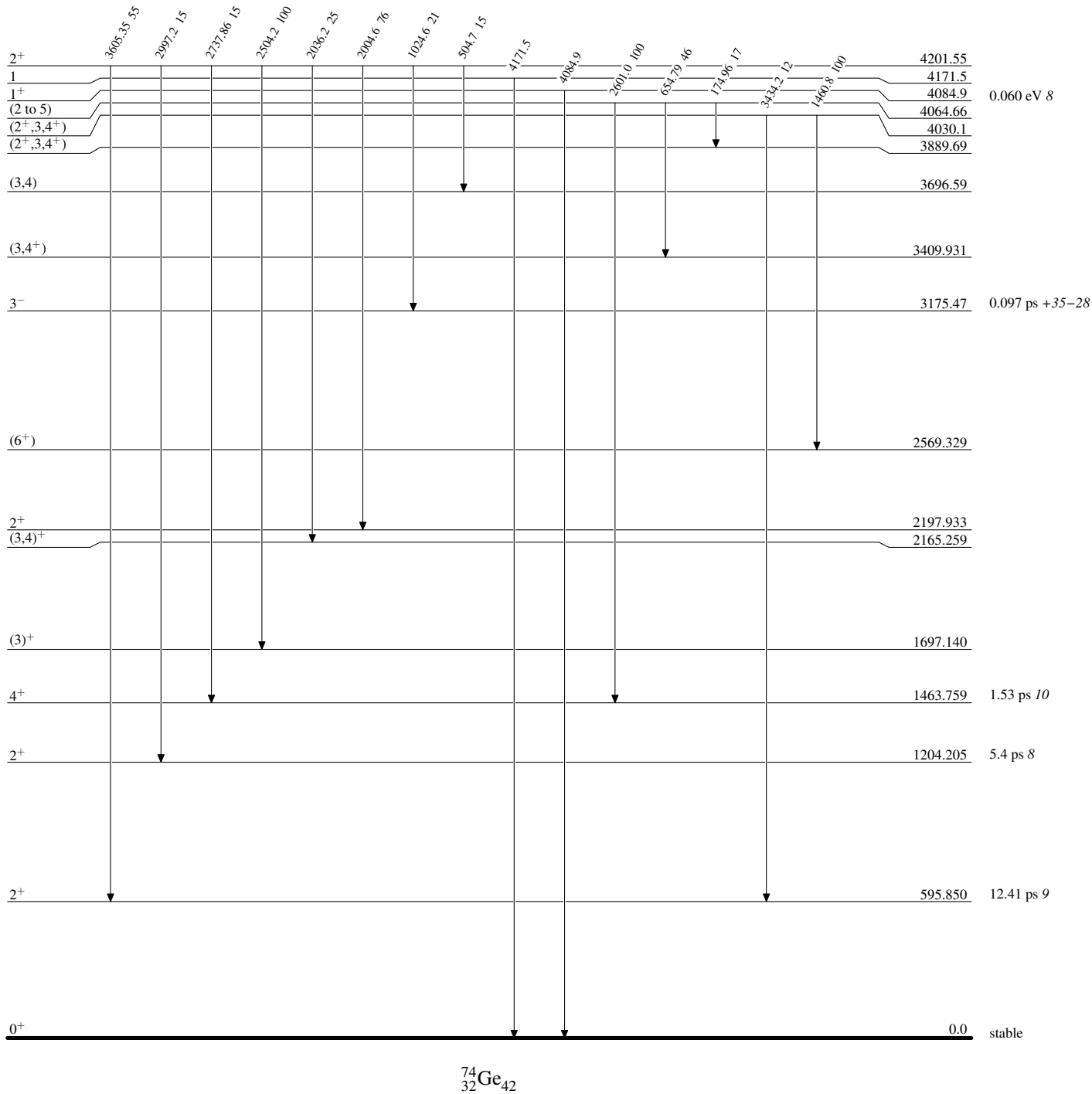


<sup>74</sup>Ge<sub>42</sub>

**Adopted Levels, Gammas**

Level Scheme (continued)

Intensities: Relative photon branching from each level  
& Multiply placed: undivided intensity given



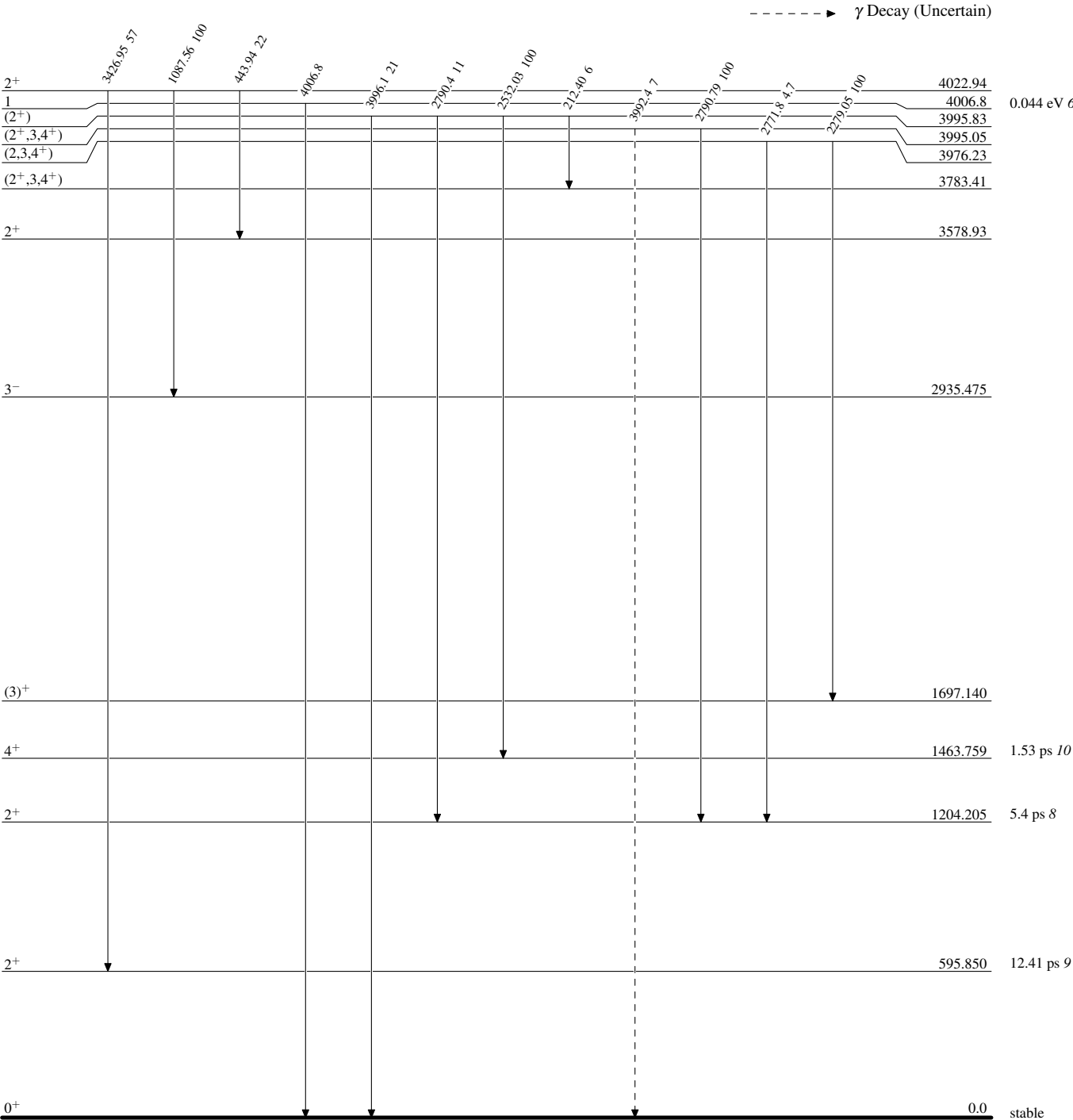
<sup>74</sup>Ge<sub>42</sub>

Adopted Levels, Gammas

Level Scheme (continued)

Legend

Intensities: Relative photon branching from each level  
& Multiply placed: undivided intensity given

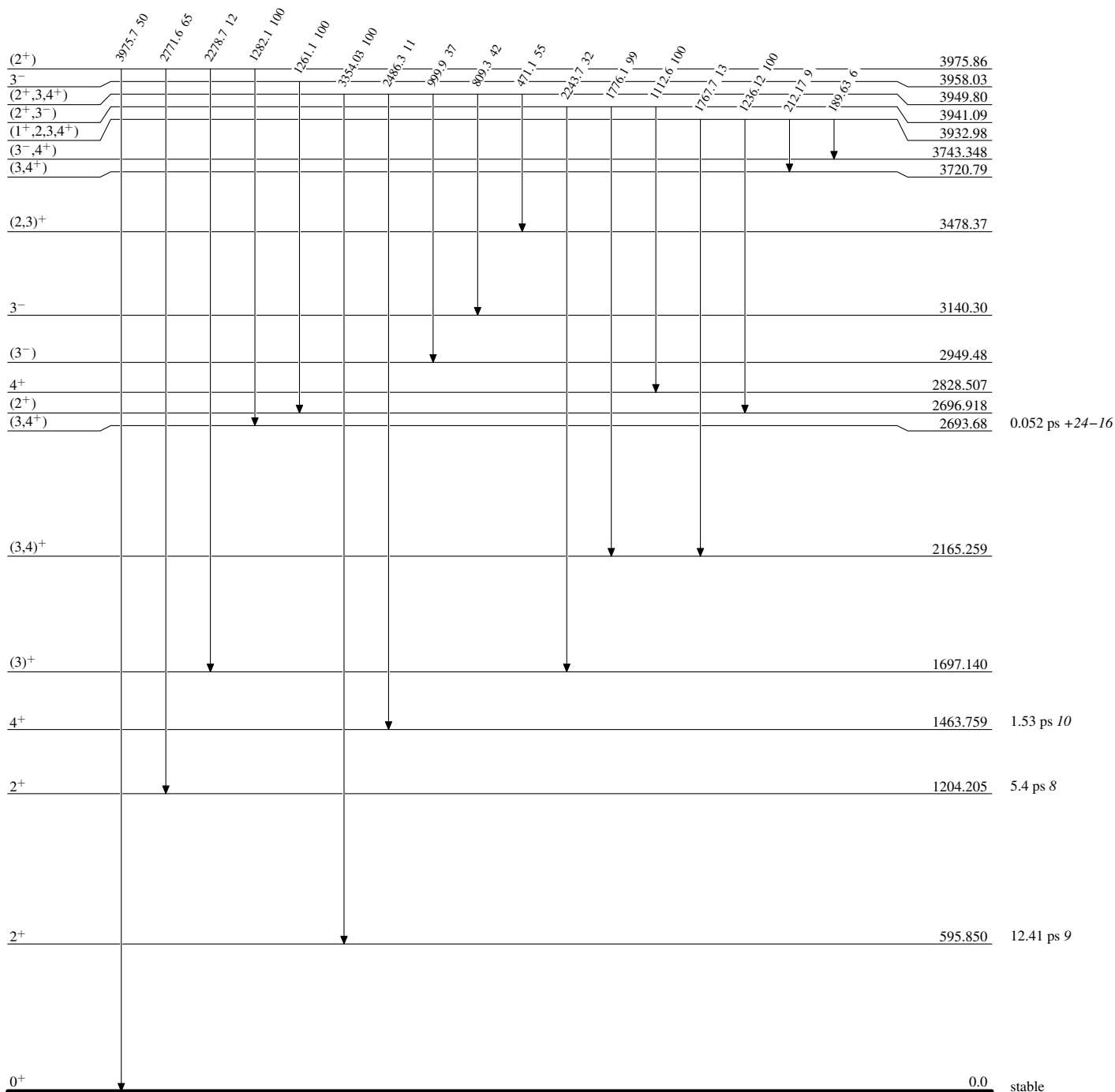


<sup>74</sup>Ge<sub>42</sub>

**Adopted Levels, Gammas**

**Level Scheme (continued)**

Intensities: Relative photon branching from each level  
& Multiply placed: undivided intensity given



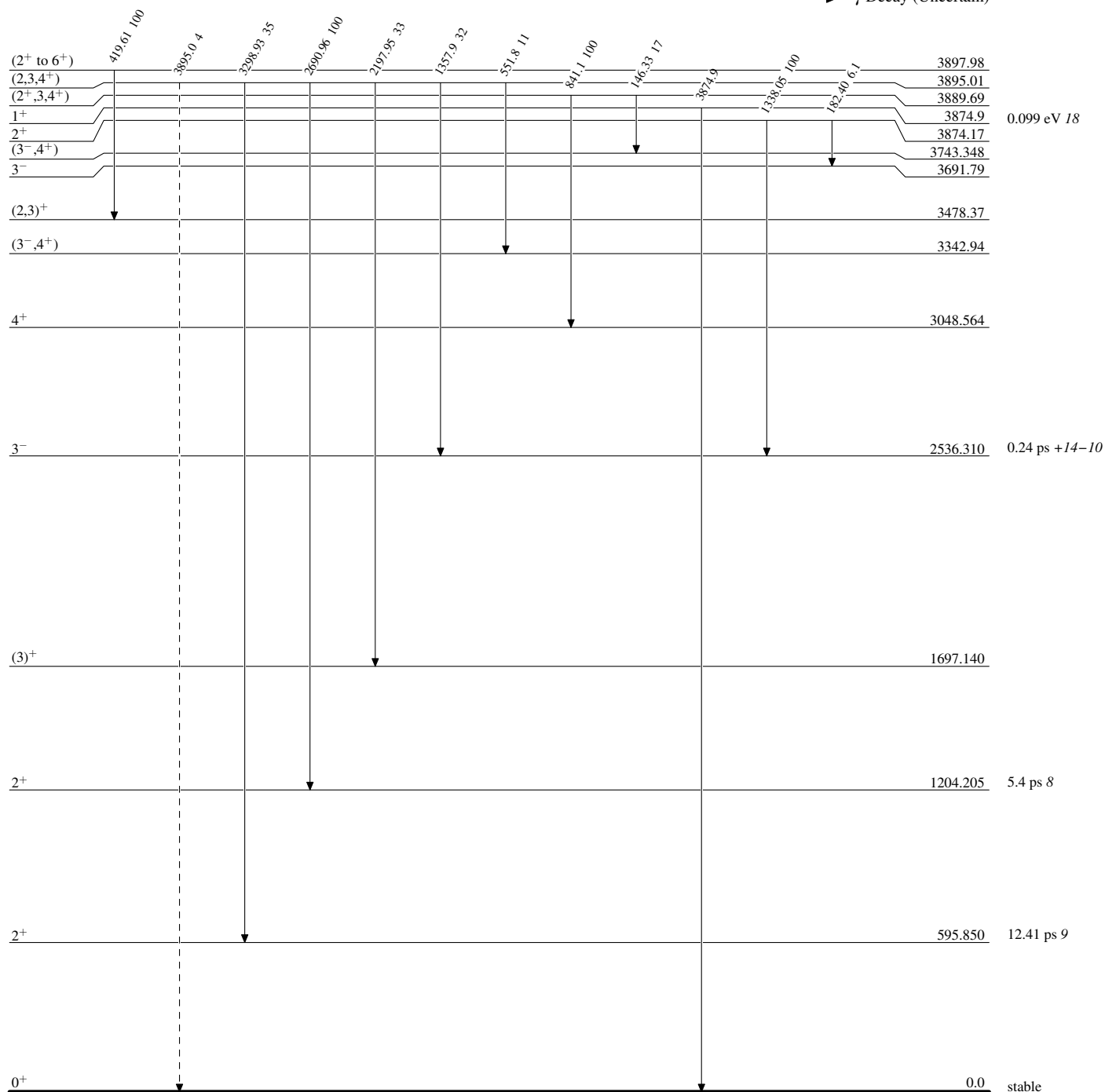
# Adopted Levels, Gammas

## Level Scheme (continued)

Intensities: Relative photon branching from each level  
& Multiply placed: undivided intensity given

Legend

-----►  $\gamma$  Decay (Uncertain)



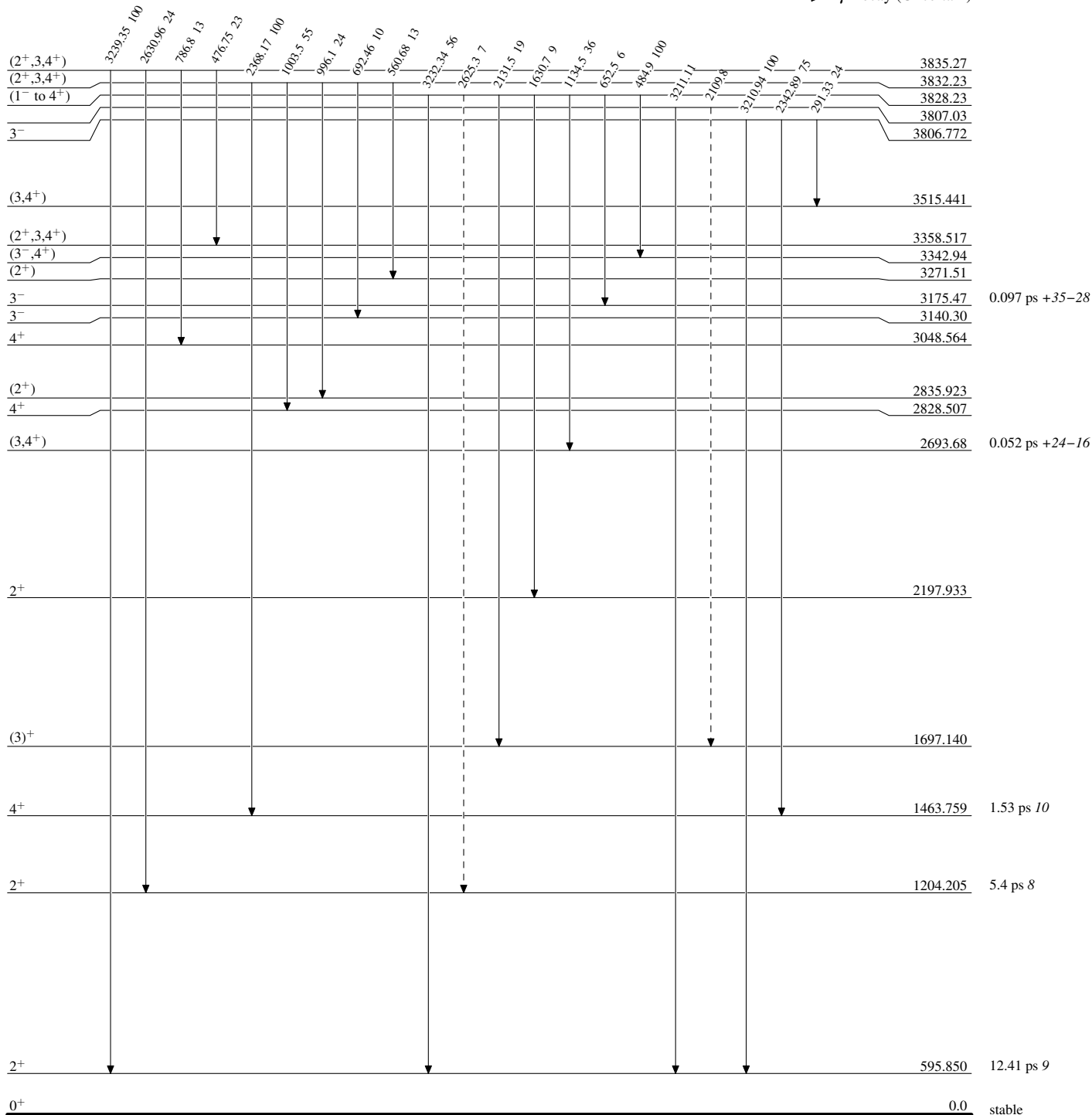
**Adopted Levels, Gammas**

**Level Scheme (continued)**

Intensities: Relative photon branching from each level  
& Multiply placed: undivided intensity given

Legend

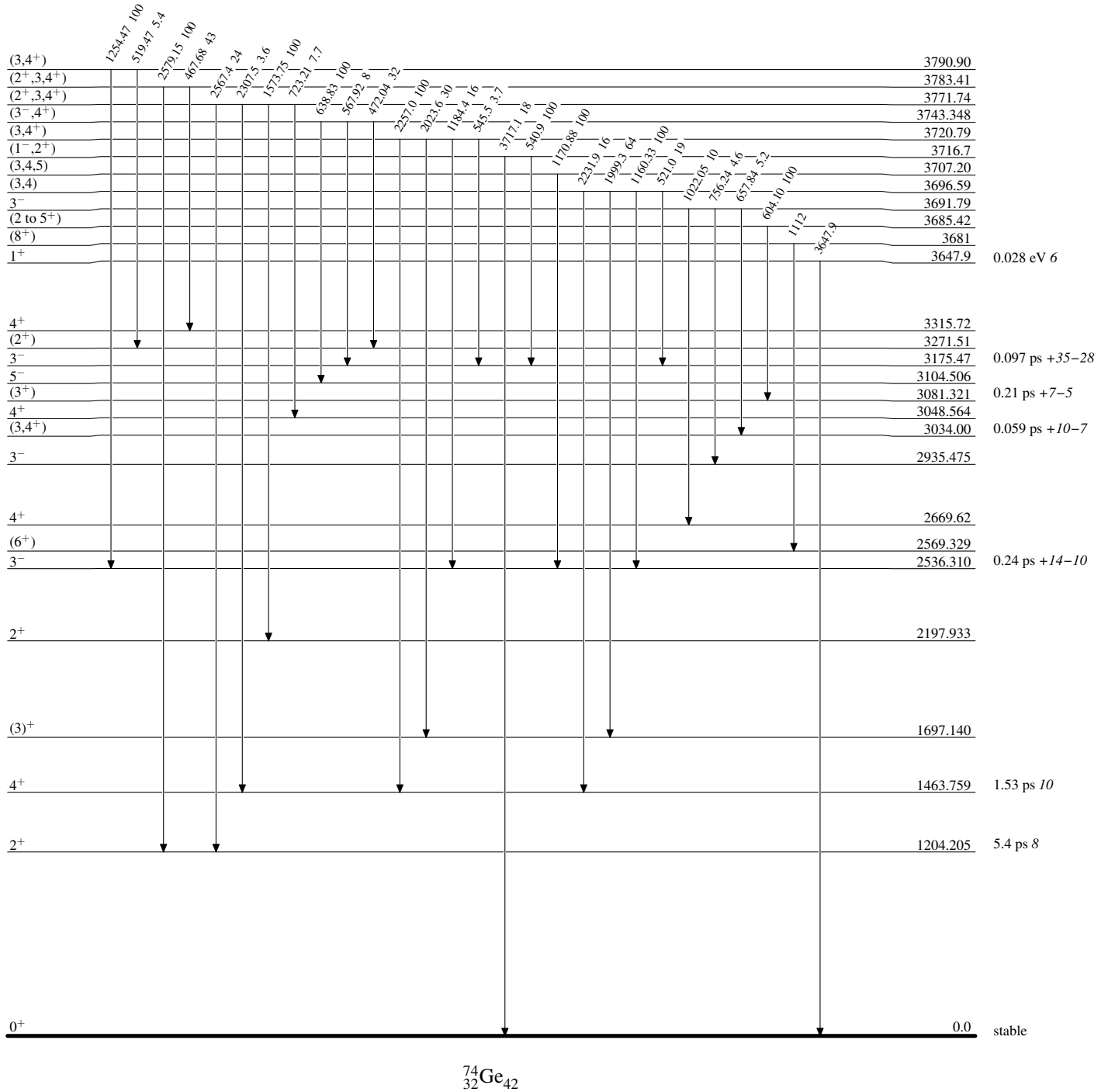
-----►  $\gamma$  Decay (Uncertain)





**Adopted Levels, Gammas****Level Scheme (continued)**

Intensities: Relative photon branching from each level  
& Multiply placed: undivided intensity given



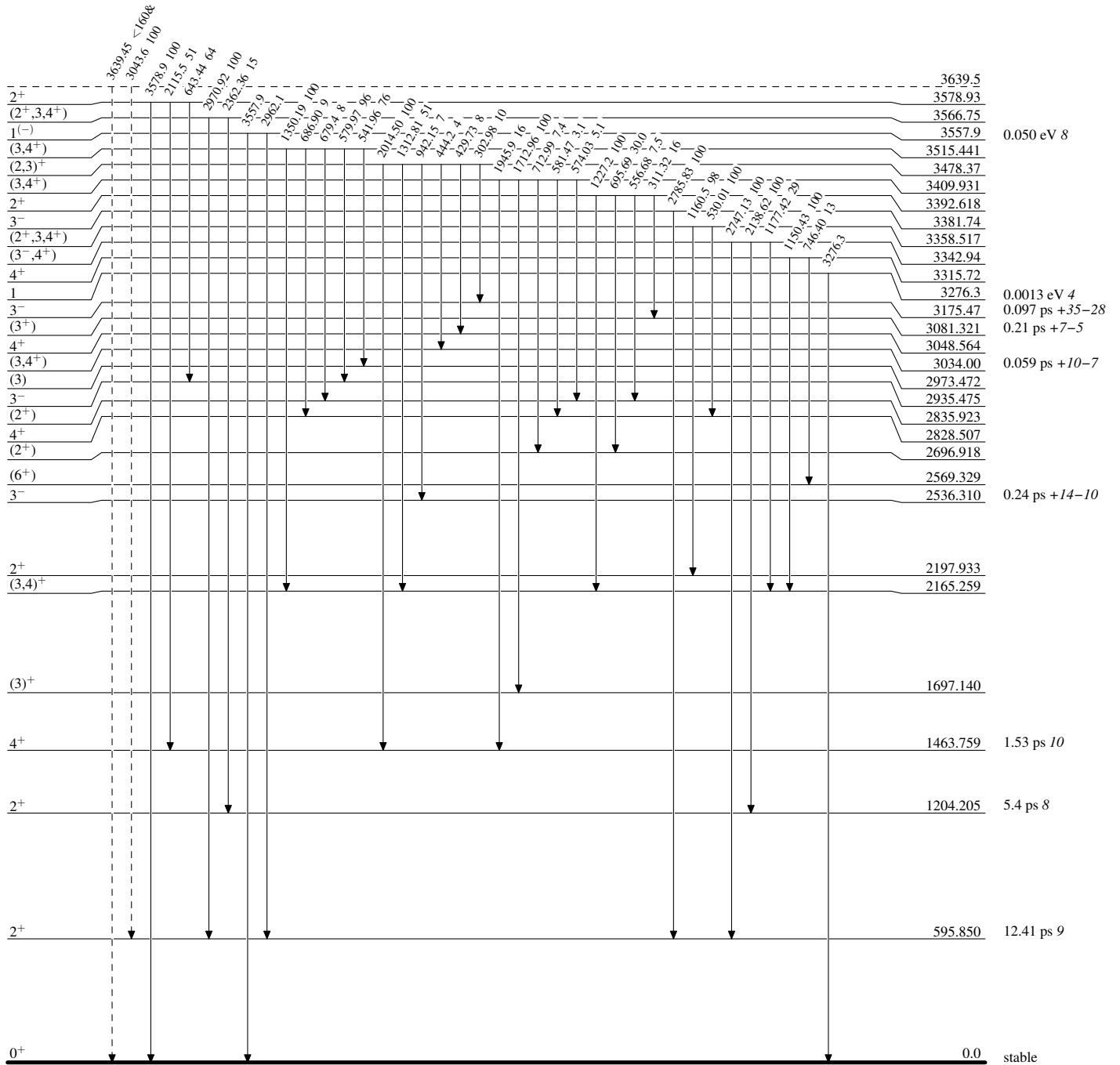
### Adopted Levels, Gammas

Legend

#### Level Scheme (continued)

Intensities: Relative photon branching from each level  
& Multiply placed: undivided intensity given

-----►  $\gamma$  Decay (Uncertain)



### Legend

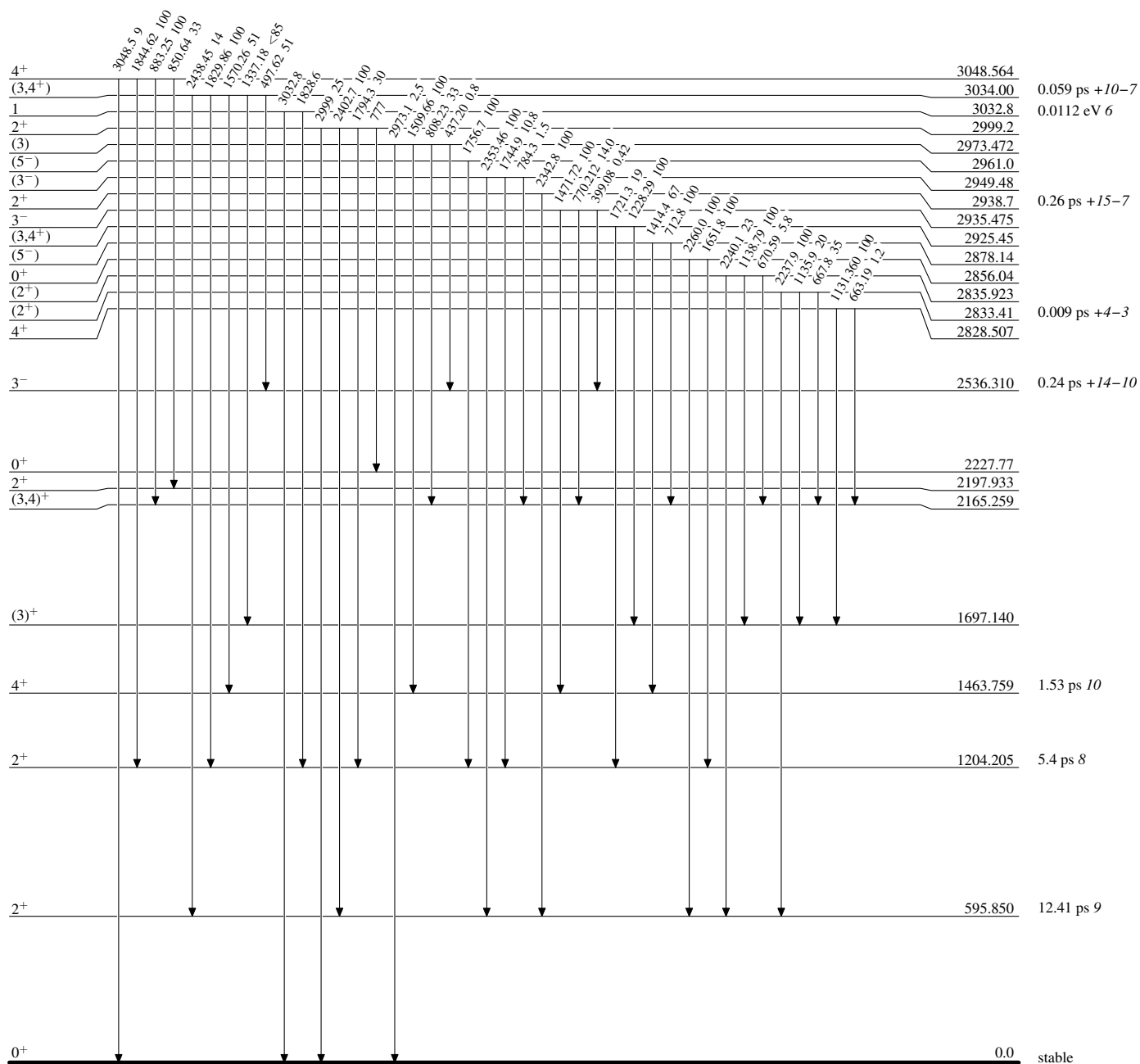
-----►  $\gamma$  Decay (Uncertain)

 ${}^{74}_{32}\text{Ge}_{42}$

**Adopted Levels, Gammas**

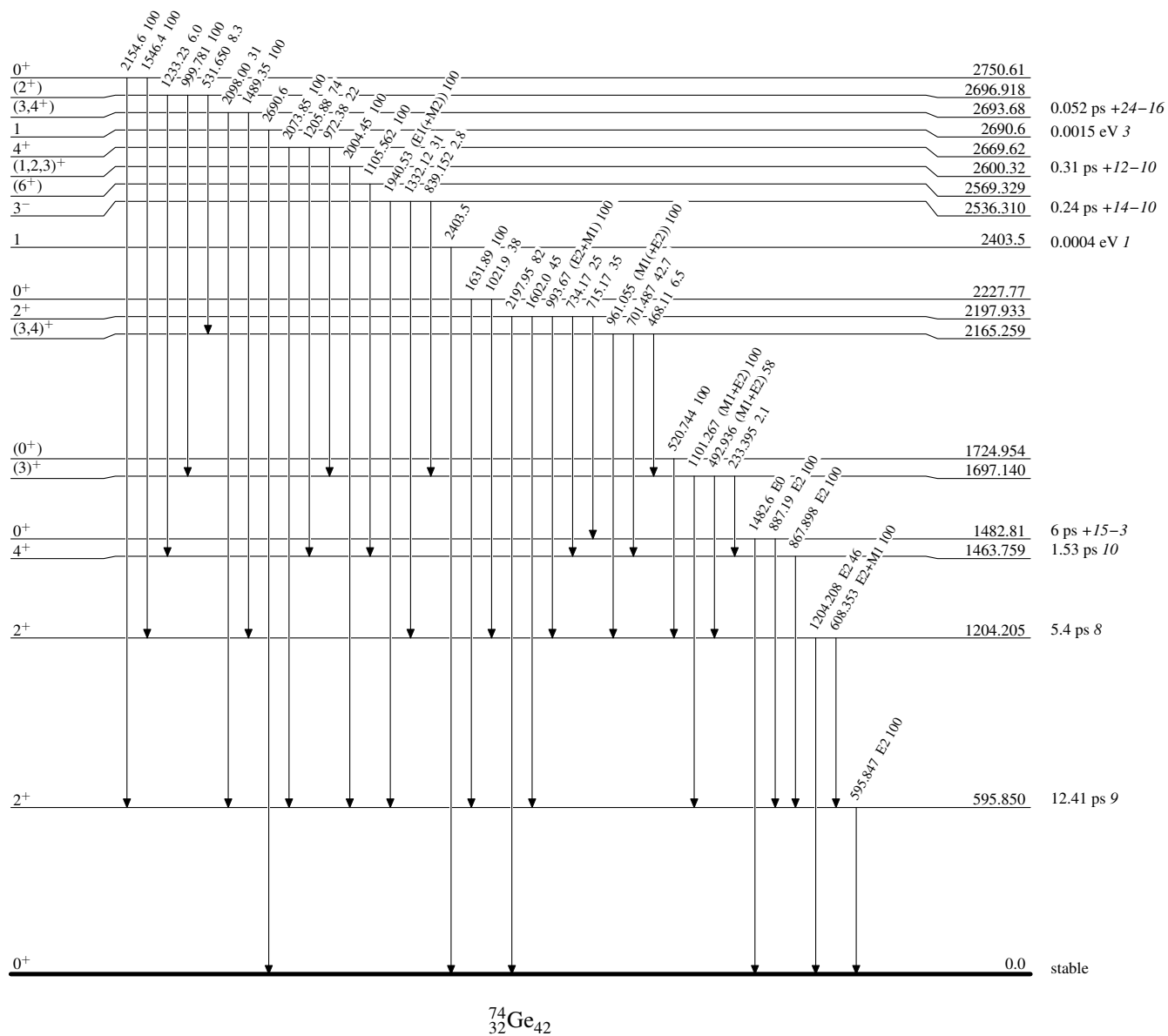
**Level Scheme (continued)**

Intensities: Relative photon branching from each level  
& Multiply placed: undivided intensity given

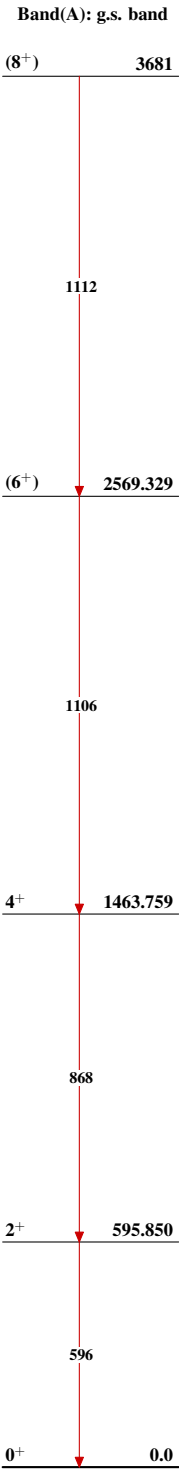


**Adopted Levels, Gammas****Level Scheme (continued)**

Intensities: Relative photon branching from each level  
& Multiply placed: undivided intensity given

 $^{74}_{32}\text{Ge}_{42}$

Adopted Levels, Gammas



$^{74}_{32}\text{Ge}_{42}$